

21/11 Vektorfält och elektromagnetisk
fältteori

①

Innehåll:

- Vektorer och skalärer

+ Repetition av vektorer och vektoroperationer

- Exempel 1.4

+ Skalärprodukt

- Exempel 1.7

+ Kryssprodukt

+ Skalära fält och vektorfält

- Exempel

+ Temperatur konturlinjer

+ Vektorfält

- Exempel

+ Vektorfält och fältlinjer

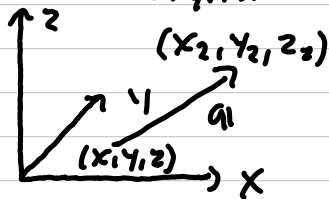
Vektorer och skalärer

Kursbok: Vektor Calculus, finns som PDF
kommer att finnas dugga och inlämnings-
uppgifter i LP3. Inset i LP2.

- Vektorer - storlek, riktning
- Skalär - storlek

Representation av vektor $\nearrow a_1$

Koordinatsystem



Introducera
vektorbeteckning $a_1 = (a_1, a_2, a_3)$
 $\Rightarrow a_1 = x_2 - x_1, a_2 = y_2 - y_1, a_3 = z_2 - z_1$

Höjersystem

Koordinatsystem beskrivs med enhetsvektorer
 e_1, e_2, e_3 ($\hat{x}, \hat{y}, \hat{z}$)

Basvektorer (ortohormorade)

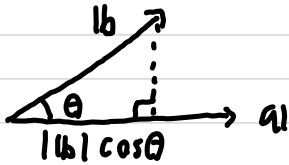
$$|e_1| = |e_2| = |e_3| = 1$$

Kan nu skriva $a_1 = a_1 e_1 + a_2 e_2 + a_3 e_3$

$$|a_1| = \sqrt{a_1^2 + a_2^2 + a_3^2}$$

Ortsvektorer: En vektor som pekar från en
plats i rummet. Beteckning $r = (x, y, z)$.

Skalarprodukt: $a_1 \cdot b = |a_1| |b| \cos \theta$



$$- a_1 \cdot b = b \cdot a_1$$

$$- \text{Om vinkel rät} \Leftrightarrow a_1 \cdot b = 0$$

$$- a_1 \cdot a_1 = |a_1|^2$$

$$- a_1 \cdot (b + c) = a_1 \cdot b + a_1 \cdot c$$

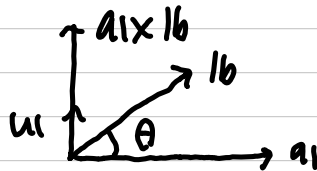
$$- c(a_1 \cdot b) = (ca_1) \cdot b$$

Formel för skalärprodukt

$$\begin{aligned} a_1 \cdot b &= (a_1 e_1 + a_2 e_2 + a_3 e_3) \cdot (b_1 e_1 + b_2 e_2 + b_3 e_3) \\ &= a_1 b_1 + a_2 b_2 + a_3 b_3 \end{aligned}$$

Exempel 1.4: Vilket c ger ortogonala vektorer för $(c, 1, 1) \cdot (-1, 2, 0) = -c + 2 = 0 \Rightarrow c = 2$

Kryssprodukt: $a_1 \times b$
 $|a_1 \times b| = |a_1| |b| \sin \theta$
vektor vinkel rät mot
 a_1 och b i högersystem



$$a_1 \times b = |a_1| |b| \sin \theta u$$

- $a_1 \times b = -b \times a_1$
- Om $a_1 \parallel b \Leftrightarrow a_1 \times b = 0$
- $a_1 \times (b + c) = a_1 \times b + a_1 \times c$
- $(ca_1) \times b = c(a_1 \times b)$

$$a_1 \times b = (a_1, a_2, a_3) \times (b_1, b_2, b_3) = \begin{vmatrix} e_1 & e_2 & e_3 \\ a_1 & a_2 & a_3 \\ b_1 & b_2 & b_3 \end{vmatrix}$$

Exempel 1.5: Enhetsvektor vinkelrät mot $(1, 0, 1)$ och $(0, 1, 1)$

$$(1, 0, 1) \times (0, 1, 1) = \begin{vmatrix} e_1 & e_2 & e_3 \\ 1 & 0 & 1 \\ 0 & 1 & 1 \end{vmatrix} = (-1, -1, 1)$$

Normering: $\frac{(-1, -1, 1)}{\sqrt{3}}$

Skalar trippel produkt: $a_1 \cdot \underbrace{b \times c}_2 := a_1 \cdot (b \times c)$

$$a_1 \cdot b \times c = b \cdot c \times a_1 = c \cdot a_1 \times b = \begin{vmatrix} a_1 & a_2 & a_3 \\ b_1 & b_2 & b_3 \\ c_1 & c_2 & c_3 \end{vmatrix}$$

Om två vektorer är identiska $\Rightarrow a_1 \cdot b \times c = 0$

Vektor trippel produkt:

$$a_1 \times (b \times c) = (a_1 \cdot c) b - (a_1 \cdot b) c$$

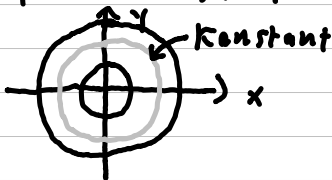
$$(a_1 \times b) \times c = -c \times (a_1 \times b) = -(c \cdot b) a_1 + (c \cdot a_1) b$$

Skalära fält och vektorfält

Skalärt fält i 3D: $T(x, y, z) = T(r)$ (temperatur)
 2D: $T(x, y) = T(r)$

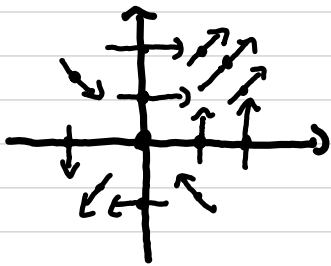
Exempel: $T(x, y) = x^2 + y^2$

Konturlinjer: Defineras av $T(x, y) = \text{konstant}$
 $x^2 + y^2 = \text{konstant}$



Vektorfält i 3D: $u_1(x, y, z) = u_1(r)$
 2D: $u_1(x, y) = u_1(r)$

Exempel: $u_1(x, y) = (y, x)$



Rita ut många pilar
för att få förståelse
för vektorfältet.

Fältlinjer: En linje som överallt har fältvektorn som tangent. Antag fält $\mathbf{F}(\mathbf{r})$. Låt oss anta att \mathbf{F} är ett hastighetsfält $\mathbf{v}(\mathbf{r})$ (för enkelhetens och intuitionens skull). En testpartikel följer en bana

$$\frac{d\mathbf{r}}{dt} = \mathbf{v}(\mathbf{r}) \Rightarrow \frac{d\mathbf{r}(t)}{dt} = \mathbf{v}(\mathbf{r}(t))$$

Analogt för \mathbf{F}

$$\frac{d}{d\tau} (\mathbf{r}(\tau)) = c \mathbf{F}(\mathbf{r}(\tau))$$

Godtycklig konstant $\neq 0$

Exempel: $\mathbf{F}(x, y) = (y, x)$

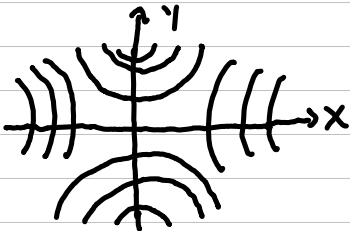
Differentialekvationer: $\begin{cases} \frac{dx}{d\tau} = y \\ \frac{dy}{d\tau} = x \end{cases}$ (C väljs till 1)

Kaplade. Använd
kedjeregeln

$$\frac{dx}{d\tau} = \frac{dx}{dy} \frac{dy}{d\tau} \Rightarrow y = \frac{dx}{dy} \frac{dx}{d\tau}$$

$$\Rightarrow \int y \, dy = \int x \, dx \Rightarrow y^2 = x^2 + C \Rightarrow y = \pm \sqrt{C + x^2}$$

$$y^2 - x^2 = C$$



22/11 Vektorfält och elektromagnetisk
fältteori

(2)

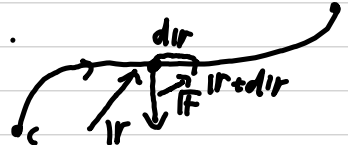
lunchäll:

- Linje-, Yt- och Volymintegraler
 - + Arbete med linjeintegraler
 - + Att beräkna linjeintegraler
 - Exempel
 - + Linjeintegral med given parametrisering
 - + Linjeintegraler längs slutna kurvor
 - Exempel
 - + Slutna kurvor med linjeintegral
- + Ytintegraler
 - Exempel
 - + Flöde genom rör
 - Ytintegral över slutna yta
 - Exempel
 - + Flöde genom cylinder
- + Volymintegraler

Linje-, Yt- och Volymintegraler

Arbete $W = F \cdot s$
↑
konstant kraft

Om nu F varierar längs vägen.
Delar in vägen i många delar.
Arbetet vid förflyttning $l_r + dl_r$.



$$dW = -F \cdot dl_r$$

Nu längs hela C:

$$W = - \sum_{i=1}^N F_i \cdot dl_i$$

Linjeintegral längs kurvan

$$\int_C F \cdot dl_r = \lim_{n \rightarrow \infty} \sum_{i=1}^n F_i \cdot dl_i$$

Riktning är viktig hos C. Motsatt riktning
 \Rightarrow multiplikation med -1.

Att beräkna linjeintegraler

Kurvan C måste parametreras. Uttryck $l_r(t)$
som en funktion av exempelvis tid.

$$\int_C F \cdot dl_r = \int_C F(l_r(t)) \cdot dl_r = \int_t F(l_r(t)) \frac{dl_r}{dt} dt$$

Exempel:

$$F = \begin{bmatrix} y \\ x \\ z \end{bmatrix}, \text{ Parametrisering } \begin{bmatrix} x = t \\ y = t \\ z = 2t^2 \end{bmatrix}, t \in [0, 1]$$

$$\text{Uttryck } F(t) = \begin{bmatrix} t \\ t \\ 2t^2 \end{bmatrix}, \frac{dl_r}{dt} = \begin{bmatrix} dx/dt = 1 \\ dy/dt = 1 \\ dz/dt = 4t \end{bmatrix}$$

$$\text{Beräkna } \int_C F \cdot dl_r = \int_0^1 (t, t, 2t^2) \cdot (1, 1, 4t) dt =$$

$$= \int_0^1 2t + 8t^3 dt = 3$$

Linjeintegral längs en sluten kurva

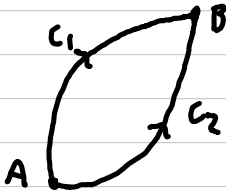
Exempel: $\mathbb{F} = \begin{bmatrix} y \\ x \\ z \end{bmatrix}$, Parametrisering = $\begin{bmatrix} x = \cos\theta \\ y = \sin\theta \\ z = 0 \end{bmatrix}$, $\theta \in [0, 2\pi]$

$$\frac{d\mathbf{r}}{d\theta} = \begin{bmatrix} -\sin\theta \\ \cos\theta \\ 0 \end{bmatrix}, \quad \mathbb{F}(\theta) = \begin{bmatrix} \sin\theta \\ \cos\theta \\ 0 \end{bmatrix}$$

$$\oint_C \mathbb{F} \cdot d\mathbf{r} = \int_0^{2\pi} (\sin\theta, \cos\theta, 0) \cdot (-\sin\theta, \cos\theta, 0) d\theta =$$

$$= \int_0^{2\pi} -\sin^2\theta + \cos^2\theta d\theta = \int_0^{2\pi} \cos 2\theta d\theta = \left[\frac{1}{2} \sin 2\theta \right]_0^{2\pi} = 0$$

Fältet \mathbb{F} är konservativt.



Ekvivalent definition av konservativt fält:

Integralen beror bara av ändpunkter

$$\int_{C_1} \mathbb{F} \cdot d\mathbf{r} = \int_{C_2} \mathbb{F} \cdot d\mathbf{r}$$

Andra linjeintegraler:

$$\int_C \phi d\mathbf{r} \text{ vektorvärd, } \int_C \mathbb{F} \times d\mathbf{r} \text{ också vektorvärd}$$

Ytintegraler

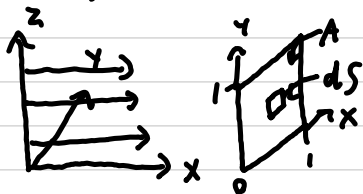
Exempel: $\vec{\Rightarrow} \text{ (S)}$, flöde u genom S

Vätska strömmar genom rör. Enklaste fallet

$$\vec{\Rightarrow} u \text{ [A]}, \quad u \text{ konstant i tid och rum}$$

$$\text{Flöde } Q = \frac{u_0 A t}{t} = u_0 A$$

Antag $|u| = u_0(x, y)$



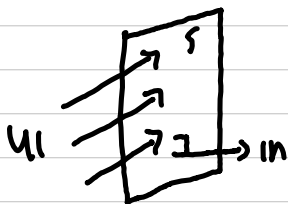
Area $dS = dx dy$

Flöde genom dS

$$dQ = u_0(x, y) \cdot dS = u_0(x, y) dx dy$$

Totalt flöde $Q = \iint_S u_0(x, y) dS = \int_0^1 \int_0^1 u_0(x, y) dx dy$

Generellt är $u \perp$; vinkelrätt mot ytan S .



$u \cdot n$ komponent vinkelrätt mot ytan: $u \cdot n$

Flöde ytan dS : $dQ = u \cdot n dS$

$$Q = \iint_S u \cdot n dS = \iint_S u \cdot n dx dy$$

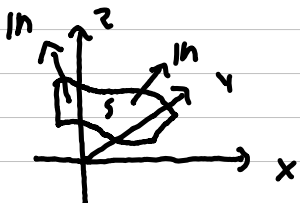
Bestäm riktning på n först.

Ytintegral över slutet yta



$$\oiint_S u \cdot n dS$$

Om S är en krökt yta



Parametrisera ytan S som $r(v, w)$

Betrakta en liten förflyttning v till $v + dv$

$$\Rightarrow r(v + dv, w)$$

Skillevektorn $r(v + dv, w) - r(v, w) = \frac{\partial r}{\partial v} dv$
 dr är tangent till planet.

På samma sätt för $\frac{\partial r}{\partial w} dw$

v behöver uttrycka $n dS$.

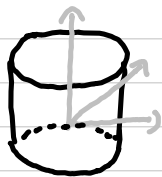
Med hjälp av kryssprodukt kan vi uttrycka
 $hdS = \left(\frac{\partial \mathbf{r}}{\partial v} \times \frac{\partial \mathbf{r}}{\partial w} \right) dv dw$

Ger yfintegral

$$\iint_S \mathbf{u} \cdot h dS = \iint_S \mathbf{u} \cdot \left(\frac{\partial \mathbf{r}}{\partial v} \times \frac{\partial \mathbf{r}}{\partial w} \right) dv dw$$

Exempel:

$$\mathbf{u} = \begin{bmatrix} x \\ z \\ -y \end{bmatrix}$$



Yta beskrivs som
 $x^2 + y^2 = 1$
 $0 \leq z \leq 1$

Ytan parametriseras med z och θ :

$$\mathbf{r} = \begin{bmatrix} x \\ y \\ z \end{bmatrix} = \begin{bmatrix} \cos\theta \\ \sin\theta \\ z \end{bmatrix}. \text{ Beräkna } \frac{\partial \mathbf{r}}{\partial \theta} = \begin{bmatrix} -\sin\theta \\ \cos\theta \\ 0 \end{bmatrix}$$

$$\frac{\partial \mathbf{r}}{\partial z} = \begin{bmatrix} 0 \\ 0 \\ 1 \end{bmatrix}$$

$$\frac{\partial \mathbf{r}}{\partial \theta} \times \frac{\partial \mathbf{r}}{\partial z} = \begin{vmatrix} \hat{x} & \hat{y} & \hat{z} \\ -\sin\theta & \cos\theta & 0 \\ 0 & 0 & 1 \end{vmatrix} = \begin{bmatrix} \cos\theta \\ \sin\theta \\ 0 \end{bmatrix}$$

$$\Rightarrow \iint_S \mathbf{u} \cdot h dS = \iint_S \mathbf{u} \cdot h dz d\theta =$$

$$= \int_0^{2\pi} \int_0^1 (\cos\theta, z, -\sin\theta) \cdot (\cos\theta, \sin\theta, 0) dz d\theta =$$

$$= \int_0^{2\pi} \int_0^1 \cos^2\theta + z \sin\theta dz d\theta = \dots = \pi$$

Volymintegral

Volym V har densitet ρ . Om ρ konstant $\Rightarrow m = \rho V$.

Men om $\rho(\mathbf{r})$, vad blir massan av volymen.

Dela upp volymen V i små δV_i .

$$\text{Summa total massa } M = \sum_{i=1}^N \rho(\mathbf{r}_i) \delta V_i$$

Generalisera $\iiint_V \rho \, dV = \lim_{N \rightarrow \infty} \sum_{i=1}^N \rho(r_i) \delta V_i$

Också möjligt med

$$\iiint_V u_1 \, dV.$$

28/11 Vektorfält och elektromagnetisk
fältteori

3

Lunchäll:

- Gradienter, Divergens, Rotation

+ Gradienter i 3D

- Exempel 3.4

+ Beräkna enhetsnormal

+ Gradienter, konservativa fält och potentialer

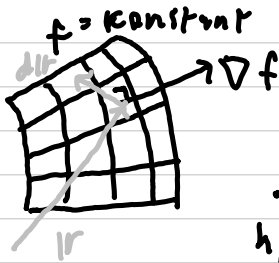
- Teorem 2.1

+ Divergens av vektorfält

+ Rotation av vektorfält

Gradienter, Divergens, Rotation

I 3D:



- Gradienten ∇f är vinkelrät mot isoyta. Pekar i riktning mot ökande f .
- Amplituden = förändringshastighet hos f .
- Gradienten beskrivs med hjälp av partiellderivator

$$\nabla f = \frac{\partial f}{\partial x} \mathbf{e}_1 + \frac{\partial f}{\partial y} \mathbf{e}_2 + \frac{\partial f}{\partial z} \mathbf{e}_3$$

Viss att ovanstående påståenden gäller
Antag liten förflyttning \mathbf{dir} till $\mathbf{dir} + d\mathbf{dir}$. Ger motsvarande ändring: f till $f + df$. Med hjälp av Taylorutveckling:

$$\begin{aligned} df &= \frac{\partial f}{\partial x} \Delta x + \frac{\partial f}{\partial y} \Delta y + \frac{\partial f}{\partial z} \Delta z \\ &= \left(\frac{\partial f}{\partial x}, \frac{\partial f}{\partial y}, \frac{\partial f}{\partial z} \right) \cdot (\Delta x, \Delta y, \Delta z) \\ &:= \nabla f \cdot d\mathbf{dir} \end{aligned}$$

Antag att $d\mathbf{dir}$ ligger i planet $f = \text{konstant}$
 $\Rightarrow df = 0 \Rightarrow \nabla f \cdot d\mathbf{dir} = 0$

I allmänhet $\nabla f \neq 0$ och $d\mathbf{dir} \neq 0$. Då får att $\nabla f \cdot d\mathbf{dir} = 0$ måste ∇f och $d\mathbf{dir}$ vara vinkelräta.

Amplituden: Ersätt $d\mathbf{dir} = |\mathbf{n}| ds$, där $|\mathbf{n}| = 1$.

$|\mathbf{n}|$ är i samma riktning som f .

Beräkna $df = \nabla f \cdot \mathbf{n} ds = |\nabla f| ds$.

$\Rightarrow |\nabla f| = \frac{df}{ds} \Rightarrow$ påstående om amplituden stämmer.

Exempel 3.4: Beräkna enhetsnormal till ytan $f(x, y, z) = x^2 + y^2 - z = 0$ i punkt $(1, 1, 2)$

$$\nabla f = \nabla(x^2 + y^2 - z) = (2x, 2y, -1)$$

$$\nabla f(1, 1, 2) = (2, 2, -1)$$

Vektorn måste normaliseras $|\nabla f(1, 1, 2)| = \sqrt{2^2 + 2^2 + 1} = 3$

$$\text{Enhetsnormalen: } \hat{n} = \frac{\nabla f(1, 1, 2)}{|\nabla f(1, 1, 2)|} = \left(\frac{2}{3}, \frac{2}{3}, -\frac{1}{3}\right)$$

Gradient, konservativa fält och potentialer
Teorem 3.1: Relaterar gradient av skalärt fält till konservativ vektorfält.

Antag vektorfält \mathbf{F} relaterar till skalärfält ϕ som $\mathbf{F} = \nabla \phi$.

$\nabla \phi$ existerar överallt i D .

Då är \mathbf{F} konservativt i D och omvänt om \mathbf{F} är konservativt kan man skriva $\mathbf{F} = \nabla \phi$. ϕ kallas potential.

Bevis: Antag $\mathbf{F} = \nabla \phi$. Beräkna linjeintegralen från A till B längs C .

$$\int_C \mathbf{F} \cdot d\mathbf{r} = \int_C \nabla \phi \cdot d\mathbf{r} = \int_C d\phi = [\phi]_A^B = \phi(B) - \phi(A)$$

$\Rightarrow \mathbf{F}$ är konservativt.

Omvänt: Antag \mathbf{F} är konservativt

$$\phi(\mathbf{r}) = \int_0^{\mathbf{r}} \mathbf{F} \cdot d\tilde{\mathbf{r}}, \text{ vi vet att } d\phi = \mathbf{F} \cdot d\mathbf{r}$$

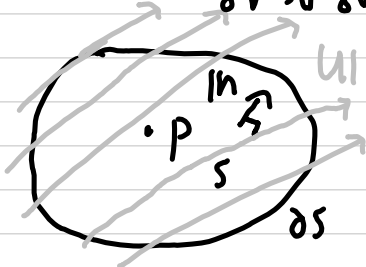
$$\Rightarrow \mathbf{F} \cdot d\mathbf{r} = \nabla \phi \cdot d\mathbf{r} \text{ måste gälla } \forall d\mathbf{r}$$

$$\Rightarrow \mathbf{F} = \nabla \phi$$

Notera ϕ är ej unik, en konstant kan adderas.

Divergens av vektorfält

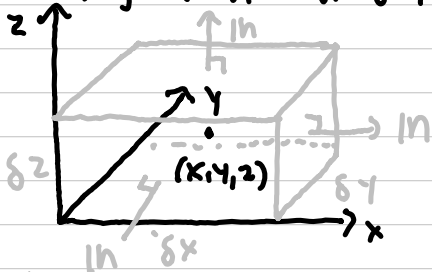
$$\operatorname{div}(u) := \lim_{\delta V \rightarrow 0} \frac{1}{\delta V} \oint_{\partial S} u \cdot n \, dS$$



Tänk ut flöde från u_1 ut ur volymen δV delat med volymen δV .

Utärled ett uttryck i kartesiska koordinater.

Antag fält $u = (u_1, u_2, u_3)$



Integralen har 6 bidrag, ett från varje sida.

Integralen över $S_1, n_1 = (1, 0, 0)$
 $\Rightarrow u_1 \cdot n = u_1$

Antag centrum av $S_1: (x + \delta x / 2, y, z)$
 $dS: \delta y \delta z$

$$\iint_{S_1} u_1 \cdot n \, dS \approx u_1(x + \frac{\delta x}{2}, y, z) \delta y \delta z$$

Liten yta $\Rightarrow u_1$ konstant över ytan

På samma sätt för $S_2: n = (-1, 0, 0)$

Centrum $(x - \frac{\delta x}{2}, y, z) \Rightarrow u_1 \cdot n = -u_1$

\Rightarrow Bidrag till integralen

$$\iint_{S_2} u_1 \cdot n \, dS \approx -u_1(x - \frac{\delta x}{2}, y, z)$$

Addera

$$\iint_{S_1 + S_2} u_1 \cdot n \, dS = [u_1(x + \frac{\delta x}{2}, y, z) - u_1(x - \frac{\delta x}{2}, y, z)] \delta y \delta z$$

$$\approx \frac{\partial u_1}{\partial x} \delta x \delta y \delta z \approx \frac{\partial u_1}{\partial x} \delta V$$

Gå i gräns på integralen:

$$\lim_{\delta V \rightarrow 0} \frac{1}{\delta V} \frac{\partial u_1}{\partial x} \delta V = \frac{\partial u_1}{\partial x}$$

På samma sätt för resterande 4 ytor:

$\Rightarrow \frac{\partial u_2}{\partial y}$ och $\frac{\partial u_3}{\partial z}$. Lägg ihop alla termer

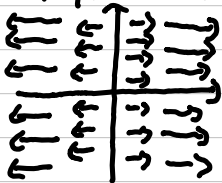
$$\Rightarrow \operatorname{div}(u_1) = \frac{\partial u_1}{\partial x} + \frac{\partial u_2}{\partial y} + \frac{\partial u_3}{\partial z}$$

Notation: $\operatorname{div}(u_1) = \nabla \cdot u_1$

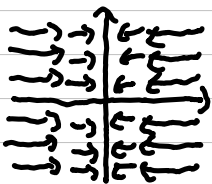
$$\nabla = \left(\frac{\partial}{\partial x}, \frac{\partial}{\partial y}, \frac{\partial}{\partial z} \right)$$

$$\Rightarrow \nabla \cdot u_1 = \left(\frac{\partial}{\partial x}, \frac{\partial}{\partial y}, \frac{\partial}{\partial z} \right) \cdot (u_1, u_2, u_3) = \frac{\partial u_1}{\partial x} + \frac{\partial u_2}{\partial y} + \frac{\partial u_3}{\partial z}$$

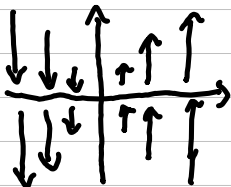
Fysikalisk tolkning:



$$u_1 = (x, 0, 0)$$
$$\nabla \cdot u_1 = 1 + 0 + 0 = 1$$



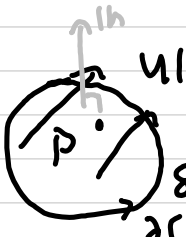
$$u_1 = (-x, 0, 0)$$
$$\nabla \cdot u_1 = -1 + 0 + 0 = -1$$



$$u_1 = (0, x, 0)$$
$$\nabla \cdot u_1 = 0 + 1 + 0 = 1$$

Divergensfritt

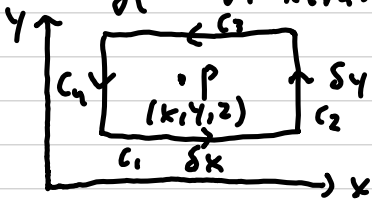
Rotation av vektorfält



$$n \cdot \text{curl}(u_1) = \lim_{\delta S \rightarrow 0} \frac{1}{\delta S} \oint_{\delta C} u_1 \cdot dr$$

Antag först $n = \hat{e}_3$

Vi beräknar z-komponenten av $\text{curl}(u_1)$



För C_1 : Centrum av $C_1 =$

$$= \left(x, y - \frac{\delta y}{2}, z \right)$$

$$\Rightarrow u_1 \cdot dr = u_1 dx$$

Integral:

$$\int_{C_1} u_1 \cdot dr \approx u_1 \left(x, y - \frac{\delta y}{2}, z \right) \delta x$$

På samma sätt för C_2, C_3, C_4 .

$$\Rightarrow \hat{e}_3 \cdot \text{curl}(u_1) = \frac{\partial u_2}{\partial x} - \frac{\partial u_1}{\partial y}$$

På samma sätt för \hat{e}_1 och \hat{e}_2

$$\Rightarrow \text{curl}(u_1) = \left(\frac{\partial u_3}{\partial y} - \frac{\partial u_2}{\partial z}, \frac{\partial u_1}{\partial z} - \frac{\partial u_3}{\partial x}, \frac{\partial u_2}{\partial x} - \frac{\partial u_1}{\partial y} \right)$$

$$\text{Notation: } \text{curl}(u_1) = \nabla \times u_1 = \begin{vmatrix} \hat{e}_1 & \hat{e}_2 & \hat{e}_3 \\ \frac{\partial}{\partial x} & \frac{\partial}{\partial y} & \frac{\partial}{\partial z} \\ u_1 & u_2 & u_3 \end{vmatrix}$$

På tidigare vektorfält:

$$\nabla \times (x, 0, 0) = (0, 0, 0) \quad \text{Rotationsfritt}$$

$$\nabla \times (-x, 0, 0) = (0, 0, 0)$$

$$\nabla \times (0, x, 0) = (0, 0, 1)$$

[Läs själva i boken: Laplaceoperatorn $\nabla \cdot \nabla \phi$
Rotation av konservativt fält $\nabla \times \nabla \phi$.]

29/11 Vektorfält och elektromagnetisk
fältteori

(4)

Lunchäll:

- Indexnotationer med tillämpningar
 - + Introduktion
 - + Exempel
 - Dubbel skalär produkt
 - + Exempel 4.1
 - Frih notation till vektorform
 - + Exempel 4.2
 - Vektorform till indexnotation
 - + Kronecker delta
 - + Exempel
 - Användning av kronecker delta
 - + Epsilon tensorn
 - + Gradienter, Divergens, Rotation
 - + Kombinationer

Index notationer med tillämpningar

Vi kan skriva en vektor

$$a_1 = \sum_{i=1}^3 a_i e_i = a_1 e_1 + a_2 e_2 + a_3 e_3$$

I indexnotation skriver man a_i , i fritt index
 $i = 1, 2, 3$.

Skriver till exempel $c = a + b$

$$c_i = a_i + b_i$$

Skalarprodukt: $a \cdot b = a_1 b_1 + a_2 b_2 + a_3 b_3$
 $= \sum_{i=1}^3 a_i b_i$

$a_i \cdot b_j = a_j b_i$, Dubbla index = summationsindex.
Index kan endast förekomma 1 eller 2
gångar i en term.

Exempel: $(a \cdot b) \cdot (c \cdot d) = a_j b_j c_k d_k = c_k a_j d_k b_j$

Exempel 4.1: Skriv $a_j b_i c_j$ på vektor form

$$\sum_{j=1}^3 a_j b_i c_j = b_i \sum_{j=1}^3 a_j c_j = b_i (a \cdot c) =$$

↑
fritt index

$$= (a \cdot c) b_i = (a \cdot c) b$$

Exempel 4.2: Skriv uttrycket $|a|^2 (b \cdot v) a$ på indexform.

$$|a|^2 (b \cdot v) a_i = |a|^2 (b \cdot v) a_i$$
$$= (a \cdot a) (b \cdot v) a_i$$

$$a_i + a_j b_j v_i = a_j a_j b_k v_k a_i$$

Kronecker delta δ_{ij}

$$\text{Definition: } \delta_{ij} = \begin{cases} 1 & \text{om } j=i \\ 0 & \text{om } j \neq i \end{cases}$$

$$\text{Alltså: } \delta_{11} = \delta_{22} = \delta_{33}, \text{ annars } = 0.$$

Exempel:

$$\delta_{ij} a_j = \sum_{j=1}^3 \delta_{ij} a_j = \delta_{i1} a_1 + \delta_{i2} a_2 + \delta_{i3} a_3 = a_i$$

Skalarprodukt

$$\text{Visa } a_1 \cdot b = \sum_{j=1}^3 \delta_{ij} a_i b_j = \sum_{i=1}^3 \sum_{j=1}^3 \delta_{ij} a_i b_j = a_1 b_1 + a_2 b_2 + a_3 b_3$$

$$\text{kunde ha skrivit } \begin{cases} \delta_{ij} b_j = b_i \\ \delta_{ij} a_i = a_j \end{cases}$$

E-tensor

$$E_{ijk} = \begin{cases} 0 & \text{om någon av } i, j, k \text{ är lika} \\ 1 & \text{om } ijk = (1\ 2\ 3) (2\ 3\ 1) (3\ 1\ 2) \\ -1 & \text{om } ijk = (1\ 3\ 2) (2\ 1\ 3) (3\ 2\ 1) \end{cases}$$

$$\text{Visa } E_{ijk} a_j b_k = (a_1 \times b)_i = a_1 \times b$$

Visa för x-komponenten $i=1$

$$E_{1jk} a_j b_k = \sum_{j=1}^3 \sum_{k=1}^3 E_{1jk} a_j b_k = \begin{cases} \text{endast } j=2, k=3 \\ \text{och } j=3, k=2 \text{ bidrar} \end{cases}$$
$$= \underbrace{E_{123}}_{=1} a_2 b_3 + \underbrace{E_{132}}_{=-1} a_3 b_2 = a_2 b_3 - a_3 b_2$$

= kryssprodukt x-komponent

lika för $i=2$ och 3 för y respektive z .

$$E_{ijk} E_{k\ell m} = \delta_{i\ell} \delta_{jm} - \delta_{im} \delta_{j\ell}, \text{ 4 fria index}$$

$$\begin{aligned}
(a_1 \times (b \times c))_i &= \epsilon_{ijk} a_j (b \times c)_k \\
&= \epsilon_{ijk} a_j \epsilon_{klm} b_l c_m \\
&= \epsilon_{iik} \epsilon_{klm} a_j b_l c_m \\
&= (\delta_{il} \delta_{jm} - \delta_{im} \delta_{jl}) a_j b_l c_m \\
&= [\delta_{il} b_l = b_i] \\
&= a_m b_i c_m - a_j b_j c_i \\
&= (a_1 \cdot c) b_i - (a_1 \cdot b) c_i \\
&= (a_1 \cdot c) b - (a_1 \cdot b) c
\end{aligned}$$

Gradienter, Divergens, Rotation

$$\text{Grad: } \nabla f = \left(\frac{\partial f}{\partial x_1}, \frac{\partial f}{\partial x_2}, \frac{\partial f}{\partial x_3} \right)$$

$$\text{Indexnotation: } [\nabla f]_i = \frac{\partial f}{\partial x_i}$$

$$\text{operatorn } [\nabla]_i = \frac{\partial}{\partial x_i}$$

$$\text{Divergensen } \nabla \cdot u = \frac{\partial u_1}{\partial x_1} + \frac{\partial u_2}{\partial x_2} + \frac{\partial u_3}{\partial x_3} = \frac{\partial u_i}{\partial x_i}$$

Rotation $\nabla \times u$:

Visa för x-komponent

$$[\nabla \times u]_1 = \frac{\partial u_3}{\partial x_2} - \frac{\partial u_2}{\partial x_3} = \epsilon_{ijk} \frac{\partial u_k}{\partial x_j}$$

På samma sätt för $i=2$ och 3

$$\Rightarrow \nabla \times u = \epsilon_{ijk} \frac{\partial u_k}{\partial x_j}$$

Kombinationer

$$0 = \nabla \times \nabla f = \epsilon_{ijk} \frac{\partial}{\partial x_j} \cdot \frac{\partial f}{\partial x_k} = \left\{ \text{byt } j \leftrightarrow k \right\} =$$

$$= \epsilon_{ikj} \frac{\partial}{\partial x_k} \frac{\partial f}{\partial x_j} = -\epsilon_{ijk} \frac{\partial}{\partial x_k} \frac{\partial f}{\partial x_j} = -\epsilon_{ijk} \frac{\partial}{\partial x_j} \frac{\partial f}{\partial x_k}$$

Uttryck lika med sig själv. Måste vara 0.

5 / 12 Vektorfält och elektromagnetisk fältteori

(5)

Lunchäll:

- Gauss och Stokes sats
 - + Gauss sats / Divergensteoremet
 - Definition divergens
 - Masskonservering
 - Källor
 - Exempel
 - + Användning i elfält
 - + Stokes sats
 - Exempel
 - + Användning i elfält

Gauss och Stokes sats

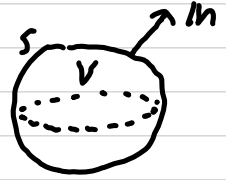
Gauss sats / Divergensteoremet

$$\iiint_V \nabla \cdot \mathbf{u} \, dV = \iint_S \mathbf{u} \cdot \mathbf{n} \, dS$$

\mathbf{u} : kontinuerlig, deriverbar ; V

S : Sluten yta runt V 's rand

\mathbf{n} : utåtriktad ytnormal



Definition av divergens:

$$\nabla \cdot \mathbf{u} \approx \frac{1}{\delta V_i} \iint_{S_i} \mathbf{u} \cdot \mathbf{n} \, dS, \quad S_i, \delta V_i \text{ små ytvolum-element}$$

Summera alla delvolymer δV_i :

$$\sum_i \nabla \cdot \mathbf{u} \delta V_i \approx \sum_i \iint_{S_i} \mathbf{u} \cdot \mathbf{n} \, dS$$

Låt $\delta V_i \rightarrow 0$. Vänster led \Rightarrow Volymintegral

Högerled \Rightarrow Motstående ytnormal
tar ut varandra

$$\Rightarrow \iiint_V \nabla \cdot \mathbf{u} \, dV = \iint_{S_{\text{tot}}} \mathbf{u} \cdot \mathbf{n} \, dS$$

\nearrow flöde genom ytan

Total expansion av
fältet ; Volymen V .

Fler ekvationer härleds om $\mathbf{u} = a \nabla f$

$$\mathbf{u} = a \nabla \times \mathbf{V}$$

$$\mathbf{u} = f \nabla g$$

$$\mathbf{u} = f \nabla g - g \nabla f$$

Masskonservering:

• Flöde med hastighet $\mathbf{u}(\mathbf{r}, t)$

• Vätska har densitet $\rho(\mathbf{r}, t)$

Massa i volymen V

$$\text{Massa i } V = \iiint_V \rho \, dV$$

$$\text{massflöde ut ur } V = \oint_S \rho \, \mathbf{u} \cdot \mathbf{n} \, dS,$$

$$\text{in i } V = - \oint_S \rho \, \mathbf{u} \cdot \mathbf{n} \, dS$$

$$\frac{d}{dt} \iiint_V \rho \, dV = - \oint_S \rho \, \mathbf{u} \cdot \mathbf{n} \, dS \left\{ \begin{array}{l} \text{byt ordning på} \\ \text{integral och derivata} \end{array} \right\}$$

$$\Rightarrow \iiint_V \frac{d}{dt} \rho \, dV = - \iiint_V \nabla \cdot (\mathbf{u} \rho) \, dV$$

$$\iiint_V \frac{d\rho}{dt} + \nabla \cdot (\mathbf{u} \rho) \, dV = 0 \Rightarrow \frac{d\rho}{dt} + \nabla \cdot (\rho \mathbf{u}) = 0$$

Om $\rho(r, t)$ konstant i tiden:

$$\Rightarrow \nabla \cdot (\mathbf{u} \rho) = 0$$

källor

Integral över slutna yta S .

$$\oint_S \mathbf{u} \cdot \mathbf{n} \, dS = q$$

Om $q \neq 0$ fältet har en källa innanför S

$q = 0$ fältet är källfritt

$$q = \iiint_V \nabla \cdot \mathbf{u} \, dV$$

ρ tynd källfäthet, divergens av \mathbf{u}



Låt volymen V minska mot Q

$$\lim_{V \rightarrow Q} \oint_S \mathbf{u} \cdot \mathbf{n} \, dS = q$$

Om gränsvärdet existerar och har $q \neq 0$ så har fältet en punkt källa.

Exempel: E-fält från punktladdning

$$\text{Vektorfält } \mathbf{E} = \frac{q}{4\pi\epsilon_0} \cdot \frac{x\mathbf{e}_1 + y\mathbf{e}_2 + z\mathbf{e}_3}{(x^2 + y^2 + z^2)^{3/2}}$$

$$\text{Divergensen } \nabla \cdot \mathbf{E} = \nabla \cdot \left(\frac{q}{4\pi\epsilon_0} \cdot \frac{x\mathbf{e}_1 + y\mathbf{e}_2 + z\mathbf{e}_3}{(x^2 + y^2 + z^2)^{3/2}} \right)$$

$$= \frac{q}{4\pi\epsilon_0} \left(\frac{1}{(x^2 + y^2 + z^2)^{3/2}} - \frac{3x^2}{(x^2 + y^2 + z^2)^{5/2}} + \frac{1}{(x^2 + y^2 + z^2)^{3/2}} - \frac{3y^2}{(x^2 + y^2 + z^2)^{5/2}} + \frac{1}{(x^2 + y^2 + z^2)^{3/2}} - \frac{3z^2}{(x^2 + y^2 + z^2)^{5/2}} \right) = 0, \text{ då } (k_1, k_2) \neq 0$$

Låt S vara ett klot med radie a och centrum i origo. I sfäriska koordinat visas enklast

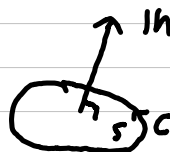
$$\oiint_S \mathbf{E} \cdot \mathbf{n} ds = \frac{q}{\epsilon_0}$$

För att Gauss sats ska vara uppfylld behövs Dirac-delta funktionen

$$\nabla \cdot \mathbf{E} = \frac{q}{\epsilon_0} \delta(x) \delta(y) \delta(z) = \frac{q}{\epsilon_0} \delta^3(\mathbf{r})$$

Stokes sats:

$$\iint_S \nabla \times \mathbf{u} \cdot \mathbf{n} ds = \oint_C \mathbf{u} \cdot d\mathbf{r}$$



\mathbf{u} kontinuerligt deriverbar på ytan S

$$\text{Bevis: } \nabla \times \mathbf{u} \cdot \mathbf{n} \approx \frac{1}{\delta S_i} \oint_{S_i} \mathbf{u} \cdot d\mathbf{r}$$

Summera alla bidrag

$$\sum_i \nabla \times \mathbf{u} \cdot \mathbf{n} \delta S_i$$

Låt $\delta S_i \rightarrow 0$, summering blir

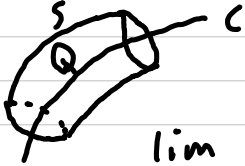
$$\iint_S \nabla \times \mathbf{u} \cdot \mathbf{n} ds = \oint_C \mathbf{u} \cdot d\mathbf{r}$$

Virvlar:

Integral övre slutna kurva $\oint_C u_i \cdot dr = i$

Om $i \neq 0$ har fältet en virvel inuti för C
 $i = 0$ virvelfritt

i kan också skrivas $i = \iint_S \underbrace{\nabla \times u_i \cdot n}_{\text{J-tvåndvirvelfält}} ds$
-!- rotation.



$$\lim_{S \rightarrow Q} \oint_C u_i \cdot dr = i(Q)$$

så har u_i en virvel med längs C .

Exempel: Elfält

$$\text{Vektor fält: } B = \frac{\mu_0 I}{2\pi} \cdot \left(\frac{-y \theta_1 + x \theta_2}{x^2 + y^2} \right)$$

Rotation $\nabla \times B = 0$, då $(x, y) \neq (0, 0)$
singularitet där

$$\text{Högerledet } \int_C B \cdot dr = \mu_0 I$$

Uttryck rotation med Dirac-delta

$$\nabla \times B = \mu_0 I_0 \delta(x) \delta(y) \theta_3$$

6/12 Vektorfält och elektromagnetisk fältteori

6

lunchäll:

- Kroklinjiga koordinater
 - + Exempel
 - Skal faktorer vid koordinatbyte
 - + Gradient
 - + Laplace operatören
 - + Rotation
 - + Cylindriska koordinater
 - + Sfäriska koordinater

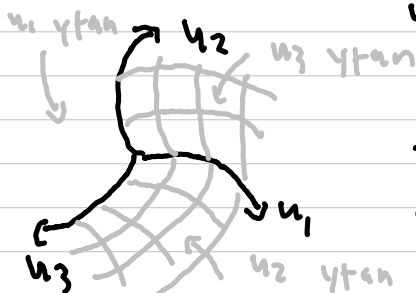
Kraklinjiga koordinater

Transformera i kartesiske koordinater
(x_1, x_2, x_3) till ett annat (u_1, u_2, u_3)

Antag entidig övergång mellan x_i och u_i .

Uttryck reaktionen $x_i = x_i(u_1, u_2, u_3)$

$u_i = u_i(x_1, x_2, x_3)$



Betrakta en liten

förflyttning $d\mathcal{X}$

$$d\mathcal{X} = (dx_1, dx_2, dx_3)$$

Eftersom x_i är en funktion av u :

$$d\mathcal{X} = \frac{\partial \mathcal{X}}{\partial u_1} du_1 + \frac{\partial \mathcal{X}}{\partial u_2} du_2 + \frac{\partial \mathcal{X}}{\partial u_3} du_3$$

$$\text{Indexnotation: } dx_i = \frac{\partial x_i}{\partial u_j} du_j$$

$\frac{\partial \mathcal{X}}{\partial u_1}$ är tangent till u_1 kurvan

Enhetsvektor längs u_1 -kurvan

$$\mathcal{P}_1 = \frac{d\mathcal{X}}{\partial u_1} / h_1, \quad h_1 \text{ är skalfaktorn}$$

$$h_1 = \left| \frac{\partial \mathcal{X}}{\partial u_1} \right| \quad \text{På samma sätt för } \mathcal{P}_2, \mathcal{P}_3$$

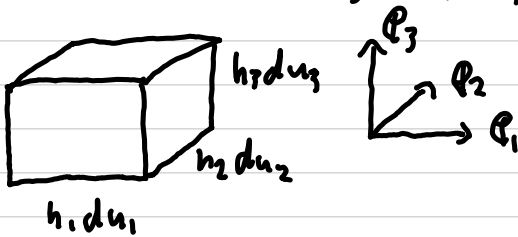
Nu kan vi skriva

$$d\mathcal{X} = h_1 \mathcal{P}_1 du_1 + h_2 \mathcal{P}_2 du_2 + h_3 \mathcal{P}_3 du_3$$

Här enbart ortogonal system $\mathcal{P}_i \cdot \mathcal{P}_j = \delta_{ij}$

Höger system $\mathcal{P}_1 \times \mathcal{P}_2 = \mathcal{P}_3$

Lokalt kan det kröklinjiga systemet ses som rektangulärt. En förändring du_i leder till en förändring $h_i du_i$ i riktningen \mathcal{E}_i .



Ytelement, $u_1 - u_2 - u_3$: $dS = h_2 h_3 du_1 du_2$
 Volymelement: $dV = h_1 h_2 h_3 du_1 du_2 du_3$
 Linjelement: $d\mathcal{X}^2 = d\mathcal{X} \cdot d\mathcal{X} = h_1^2 du_1^2 + h_2^2 du_2^2 + h_3^2 du_3^2$

Exempel 6.2: $\mathcal{X} = (2uv, u^2 - v^2, w)$

Enhetsvektorer skal faktor:

$$h_u = \left| \left(\frac{\partial x_1}{\partial u}, \frac{\partial x_2}{\partial u}, \frac{\partial x_3}{\partial u} \right) \right| = \left| (2v, 2u, 0) \right| = 2\sqrt{u^2 + v^2}$$

$$\mathcal{E}_u = \left(\frac{\partial x_1}{\partial u}, \frac{\partial x_2}{\partial u}, \frac{\partial x_3}{\partial u} \right) / h_u = \frac{(v, u, 0)}{\sqrt{u^2 + v^2}}$$

$$h_v = \left| (2u, -2v, 0) \right| = 2\sqrt{u^2 + v^2}$$

$$\mathcal{E}_v = \frac{(u, -v, 0)}{\sqrt{u^2 + v^2}}$$

$$h_w = \left| (0, 0, 1) \right| = 1 \Rightarrow \mathcal{E}_w = (0, 0, 1)$$

Gradient

$$df = \nabla \cdot d\mathcal{X}$$

Med $d\mathcal{X} = h_1 \mathcal{E}_1 du_1 + h_2 \mathcal{E}_2 du_2 + h_3 \mathcal{E}_3 du_3$

f är en funktion av u_i

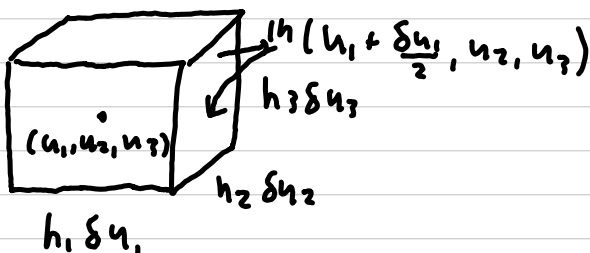
$$df = \frac{\partial f}{\partial u_1} du_1 + \frac{\partial f}{\partial u_2} du_2 + \frac{\partial f}{\partial u_3} du_3$$

$$= \frac{1}{h_1} \frac{\partial f}{\partial u_1} h_1 du_1 + \frac{1}{h_2} \frac{\partial f}{\partial u_2} h_2 du_2 + \frac{1}{h_3} \frac{\partial f}{\partial u_3} h_3 du_3$$

$$= \left(\frac{1}{h_1} \frac{\partial f}{\partial u_1} \mathbf{e}_1 + \frac{1}{h_2} \frac{\partial f}{\partial u_2} \mathbf{e}_2 + \frac{1}{h_3} \frac{\partial f}{\partial u_3} \mathbf{e}_3 \right) \cdot d\mathbf{x}$$

$$\text{Divergens: } \nabla \cdot \mathbf{W} = \lim_{\delta V \rightarrow 0} \frac{1}{\delta V} \iiint_{\delta V} \nabla \cdot \mathbf{W} \, dV$$

$$\mathbf{W} = W_1 \mathbf{e}_1 + W_2 \mathbf{e}_2 + W_3 \mathbf{e}_3$$



Ridrag till yfintegralken på två ytor

$$W \cdot \mathbf{n} \, dS_1 \approx W_1 h_2 h_3 \, du_2 \, du_3$$

$$W \cdot \mathbf{n} \, dS_2 \approx -W_1 h_2 h_3 \, du_2 \, du_3$$

rumsbavande

$$\Rightarrow \delta(u_1, u_2, u_3) \, du_2 \, du_3$$

$$= \frac{\partial (W_1 h_2 h_3)}{\partial u_1} \, du_1 \, du_2 \, du_3$$

$\Rightarrow \frac{1}{h_1 h_2 h_3} \frac{\partial}{\partial u_1} (W_1 h_2 h_3)$, på samma sätt för övriga ytor.

$$\nabla \cdot \mathbf{W} = \frac{1}{h_1 h_2 h_3} \left(\frac{\partial}{\partial u_1} (W_1 h_2 h_3) + \frac{\partial}{\partial u_2} (W_2 h_3 h_1) + \frac{\partial}{\partial u_3} (W_3 h_1 h_2) \right)$$

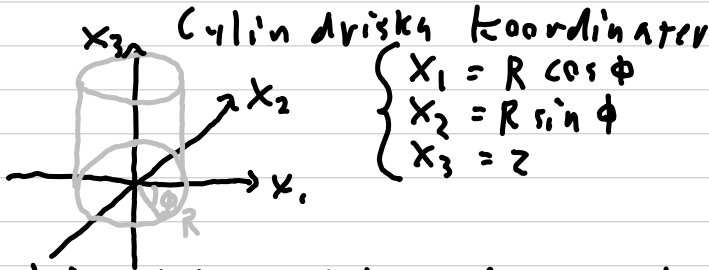
Laplace - Operatorm

$$\nabla^2 f = \nabla \cdot (\nabla f) =$$

$$= \frac{1}{h_1 h_2 h_3} \left[\frac{\partial}{\partial u_1} \left(\frac{h_2 h_3}{h_1} \frac{\partial f}{\partial u_1} \right) + \frac{\partial}{\partial u_2} \left(\frac{h_3 h_1}{h_2} \frac{\partial f}{\partial u_2} \right) + \frac{\partial}{\partial u_3} \left(\frac{h_1 h_2}{h_3} \frac{\partial f}{\partial u_3} \right) \right]$$

Rotation

$$\nabla \times V = \frac{1}{h_1 h_2 h_3} \begin{vmatrix} h_1 \mathbf{e}_1 & h_2 \mathbf{e}_2 & h_3 \mathbf{e}_3 \\ \frac{\partial}{\partial u_1} & \frac{\partial}{\partial u_2} & \frac{\partial}{\partial u_3} \\ h_1 v_1 & h_2 v_2 & h_3 v_3 \end{vmatrix}$$



v_i behöver enhetsvektorer och skal faktorer

$$h_R = \left| \frac{\partial \mathbf{x}}{\partial R} \right| = \left| (\cos \phi, \sin \phi, 0) \right| = 1$$

$$h_\phi = \left| \frac{\partial \mathbf{x}}{\partial \phi} \right| = \left| (-R \sin \phi, R \cos \phi, 0) \right| = R$$

$$h_z = \left| \frac{\partial \mathbf{x}}{\partial z} \right| = \left| (0, 0, 1) \right| = 1$$

$$\Rightarrow \mathbf{e}_R = \frac{\partial \mathbf{x}}{\partial R} / h_R = (\cos \phi, \sin \phi, 0)$$

$$\mathbf{e}_\phi = \frac{\partial \mathbf{x}}{\partial \phi} / h_\phi = (-\sin \phi, \cos \phi, 0)$$

$$\mathbf{e}_z = \frac{\partial \mathbf{x}}{\partial z} / h_z = (0, 0, 1)$$

Ytelement ds i cylinderytan ($R = \text{konst}$)
 $ds = h_\phi h_z d\phi dz = R d\phi dz$

Gradient:

$$\nabla f = \frac{1}{h_1} \frac{\partial f}{\partial u_1} \mathbf{e}_1 + \frac{1}{h_2} \frac{\partial f}{\partial u_2} \mathbf{e}_2 + \frac{1}{h_3} \frac{\partial f}{\partial u_3} \mathbf{e}_3$$

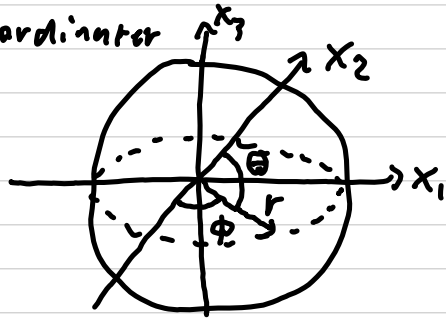
$$= \frac{\partial f}{\partial R} \varrho_R + \frac{1}{R} \frac{\partial f}{\partial \phi} \varrho_\phi + \frac{\partial f}{\partial z} \varrho_z$$

Sfäriska koordinater

$$x_1 = r \sin \theta \cos \phi$$

$$x_2 = r \sin \theta \sin \phi$$

$$x_3 = r \cos \theta$$



$$0 \leq r < \infty$$

$$0 \leq \theta < \pi$$

$$0 \leq \phi < 2\pi$$

$$h_r = \left| \frac{\partial \mathbf{x}}{\partial r} \right| = \left| (\sin \theta \cos \phi, \sin \theta \sin \phi, \cos \theta) \right| = 1$$

$$h_\theta = \dots = r$$

$$h_\phi = \dots = r \sin \theta$$

Ytelement på sfärens yta

$$dS = h_\theta h_\phi d\theta d\phi = r^2 \sin \theta d\theta d\phi$$

$$\nabla f = \frac{\partial f}{\partial r} \varrho_r + \frac{1}{r} \frac{\partial f}{\partial \theta} \varrho_\theta + \frac{1}{r \sin \theta} \frac{\partial f}{\partial \phi} \varrho_\phi$$

16/1 Vektorfält och elektro-
magnetisk fältteori

(1)

Innehåll:

- Introduktionsföreläsning
- + Allmän info
- + Examination

Introduktions föreläsning

Kursen bygger på kunskaper inom vektorfält.

Det finns övningsuppgifter på Karta. Av hemuppgifterna är de med ett "P" från kursboken och de utan ett "P" är från extra kampendium.

Kampendium finns på Canvas som "Exempelsamling". Där finns även lösta exempel.

Examination:

- Olika moment, tenta och quiz under kursen, dugga.
- Veckovisa teori frågor "Quizzes" som kan ge bonuspoäng. 7 stycken. Kan öppna, titta på frågor och sedan jobba igenom. 24-7 frågor totalt, sant eller falskt. Kan bara lämna in en gång. Upp till 5 bonus. Vid tvetydighet, sammanställ en tydlig motivering och sedan hantera vid tentan.

[När man läser frågorna, tolka exakt som skrivet. Kan vara tvetydiga med avsikt.]

- Dugga på lördag LV4, elektrostatik, bara problem lösning. Innehåll skiljer sig mellan F och TM och från tidigare år. F har en vektorfält del på dugga och tenta.
- Tenta är 4 timmar för TM, 5 timmar för F.
- Poäng och bonuspoäng finns på Canvas.
- Dugga ; SB-Multisal, TM har 2 timmar, F har 4 timmar.
- Tenta är utformad på samma sätt som tidigare år.

18/1 Vektorfält och elektro-
magnetisk fältteori

(2)

Innehåll:

- Elektromagnetisk fältteori
 - + Definitioner
 - + Det elektostatiska fältet
 - Elektrostatiska postulat
 - Divergensen
 - Rotationen
 - + Fält från laddning
 - + Coulombs lag
 - + Elfält från många diskreta laddningar
 - + Elfält från många kontinuerliga laddningar

Elektromagnetisk fältteori

Elektromagnetisk fältteori: Stadium av laddning i vila och rörelse. Detta är vad som beskrivs i kapitel 1.

Makroskopisk modell:

- Makroskopiskt innebär att laddning är jämt fördelad.
- Mikroskopisk-laddning existerar ej i varje punkt.

Volym laddningsstäthet:

$$\rho(\mathbf{r}, t) = \lim_{\Delta V \rightarrow 0} \frac{\Delta q}{\Delta V}$$

$$[\rho] = \text{As/m}^3 = \text{C/m}^3$$

V = volym

q = laddning

Ytladdningsstäthet:

$$\rho_s = \lim_{\Delta s \rightarrow 0} \frac{\Delta q}{\Delta s}$$

$$[\rho_s] = \text{C/m}^2$$

Linje laddningsstäthet:

$$\rho_l = \lim_{\Delta l \rightarrow 0} \frac{\Delta q}{\Delta l}$$

$$[\rho_l] = \text{C/m}$$

[Elektrostatiskt fält är ett tidsberoende elektriskt fält.]

Det elektrostatiska fältet, kapitel 3-1, 3-2:

Laddningar ger upphov till krafter på andra laddningar. Kraftverkan beskrivs av ett elektriskt fält \mathbf{E} .

Fältet definieras genom att mäta kraft på en testladdning q : $\mathbf{F} = q\mathbf{E}$.

Elfältet definieras då som

$$\mathbf{E} := \lim_{q \rightarrow 0} \frac{\mathbf{F}}{q}, \quad [E] = \frac{\text{V}}{\text{m}}$$

Elektrostatiska postulat:

Två postulat:

$$\bullet \nabla \cdot \mathbf{E} = \rho / \epsilon_0 \quad (\text{Gauss lag})$$

$$\bullet \nabla \times \mathbf{E} = 0$$

$$\epsilon_0 = 8.854 \cdot 10^{-12} \text{ As/Vm}$$

Divergensen, kapitel 3-2:

Integral form

$$\int_V \nabla \cdot \mathbf{E} dV = \int_V \frac{\rho}{\epsilon_0} dV$$

$$\oint_S \mathbf{E} \cdot d\mathbf{s} = \frac{Q}{\epsilon_0} \quad (\text{Divergens teoremet})$$

Rotationen:

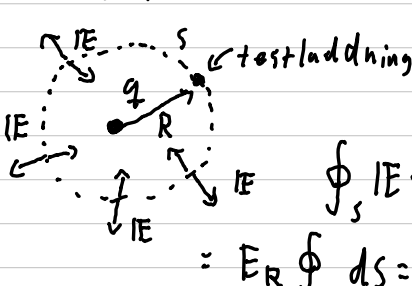
Integral form

$$\int_S \nabla \times \mathbf{E} \cdot d\mathbf{s} = 0$$

$$\oint_C \mathbf{E} \cdot d\mathbf{l} = 0 \quad (\text{Stokes sats})$$

Fält från en laddning, kapitel 3-3:

Om det bara finns en enda laddning i universum:



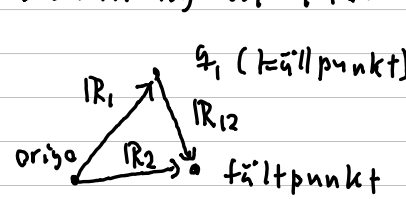
Använd Gauss lag för att beräkna det elektriska fältet.

$$\oint_S \mathbf{E} \cdot d\mathbf{s} = \oint_S \hat{\mathbf{R}} E_R \cdot \hat{\mathbf{R}} dS = E_R \oint_S dS = E_R \cdot 4\pi r^2 = \frac{q}{\epsilon_0}$$

Lös ut E_R

$$E_R = \frac{1}{4\pi \epsilon_0} \cdot \frac{q}{r^2}, \quad \mathbf{E} = \frac{1}{4\pi \epsilon_0} \cdot \frac{q}{R^2} \hat{\mathbf{R}}$$

Laddning utan för origo:



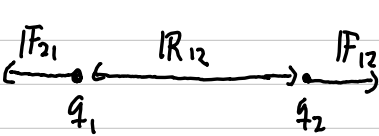
Summa sfäriska symmetri kring q_1 som tidigare.

$$\mathbf{E}(\mathbf{R}_2) = \frac{1}{4\pi \epsilon_0} \cdot \frac{q_1}{|\mathbf{R}_{12}|^2} \hat{\mathbf{R}}_{12}$$

$$\left[\begin{array}{l} \text{1 kursmaterial: } R_1 = R^1 \\ R_2 = R \\ |\mathbf{R}_{12}| = R_{12} \end{array} \right]$$

Coulombs lag 3-3:

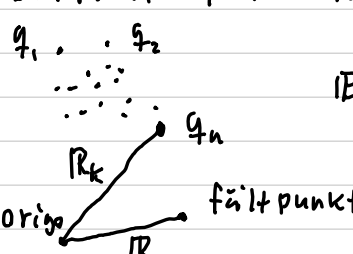
Kraften mellan två laddningar q_2 placeras i fältet från q_1 .



$$\mathbf{F}_{12} = q_2 \mathbf{E}_1(\mathbf{R}_2) = \frac{1}{4\pi \epsilon_0} \cdot \frac{q_1 q_2}{|\mathbf{R}_{12}|^2} \hat{\mathbf{R}}_{12}$$

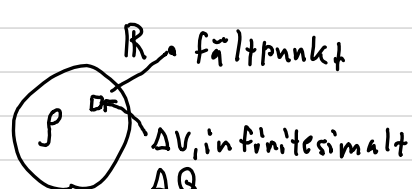
Lagen om kraft och motkraft gör att $\mathbf{F}_{12} = -\mathbf{F}_{21}$

Elfältet från många diskreta laddningar, kapitel 3-3.1



$$\mathbf{E}(\mathbf{R}) = \frac{1}{4\pi \epsilon_0} \cdot \sum_{k=1}^n \frac{q_k (\mathbf{R} - \mathbf{R}_k')}{|\mathbf{R} - \mathbf{R}_k'|^3}$$

Elfält från kontinuerliga laddningsfördelningar



$$\mathbf{E}(\mathbf{R}) = \frac{1}{4\pi \epsilon_0} \int_V \frac{\hat{\mathbf{R}}}{R^2} dQ$$

$$dQ = \rho dV$$

$$\Rightarrow \mathbf{E}(\mathbf{R}) = \frac{1}{4\pi \epsilon_0} \int_V \frac{\rho}{R^2} \hat{\mathbf{R}} \cdot dV$$

På samma sätt $dQ_s = \rho_s ds$
 $dQ_l = \rho_l dl$

19/1 Vektorfält och elektro-
magnetisk fältteori

(3)

Innehåll:

- Elektromagnetisk potential
 - + Den elektriska potentialen
 - + Potential från punktladdning
 - + Potential från två långa punktladdningar
 - + Metall

Elektromagnetisk potential

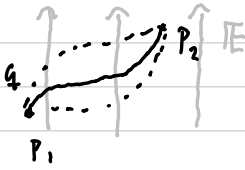
$$\nabla \times \mathbf{E} = 0$$

Har visat $\nabla \times \nabla A = 0$

V_i definierat $\mathbf{E} = -\nabla V$

Minustecken används så att lägesenergin ökar om vi tillför arbete.

Den elektriska potentialen:



Kraft på laddning:

$$\mathbf{F} = q \mathbf{E}$$

Vid förflyttning:

$$\mathbf{F}_{mek} = -\mathbf{F}$$

$$\begin{aligned} W_{mek} &= \int_{P_1}^{P_2} \mathbf{F}_{mek} \cdot d\mathbf{r} = \int_{P_2}^{P_1} \mathbf{F} \cdot d\mathbf{r} = q \int_{P_2}^{P_1} \mathbf{E} \cdot d\mathbf{r} = \\ &= q \int_{P_2}^{P_1} (-\nabla V) \cdot d\mathbf{r} = q \int_{P_1}^{P_2} dV = q(V(P_2) - V(P_1)) \\ &= qV_2 - qV_1 \end{aligned}$$

Kapitel 2.6

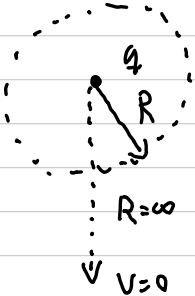
V_i löser ut V_2 :

$$V_2 = \int_{P_2}^{P_1} \mathbf{E} \cdot d\mathbf{r} + V_1, \quad V_1 \text{ är referensnivå, ofta } = 0.$$

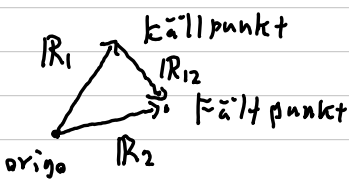
Potential från punkt laddning

Referenspunkten $V_i = 0$

Beräkna $V(R)$

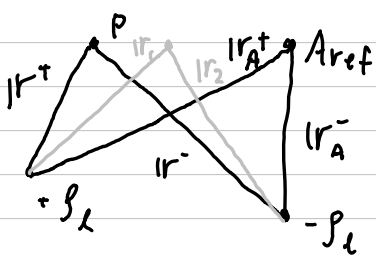


$$\begin{aligned} V &= \int_R^{\infty} \frac{q}{4\pi\epsilon_0 R'^2} \hat{\mathbf{r}} \cdot \hat{\mathbf{r}} dR' \\ &= \frac{q}{4\pi\epsilon_0 R} \end{aligned}$$



$$V = \frac{1}{4\pi\epsilon_0} \cdot \frac{q}{R_{12}}, \quad R_{12} = |R_{12}|$$

Potential från två längs linjeladdningsföretter $\pm \rho_L$



Från exempel 3-4 och 3-5.

$$\mathbf{E} = \hat{\mathbf{r}} \frac{\rho_L}{2\pi\epsilon_0 r}$$

Elektriskt fältet från två linjeladdningar:

$$\mathbf{E} = \mathbf{E}^+ + \mathbf{E}^- = \frac{\rho_L \hat{\mathbf{r}}_1}{2\pi\epsilon_0 r_1} - \frac{\rho_L \hat{\mathbf{r}}_2}{2\pi\epsilon_0 r_2}$$

$$V_P = \int_P^{A_{ref}} \mathbf{E} \cdot d\mathbf{r} + \underbrace{V_{ref}}_{=0} = \frac{\rho_L}{2\pi\epsilon_0} \left[\int_P^A \frac{\hat{\mathbf{r}}_1}{r_1} dl_1 - \int_P^A \frac{\hat{\mathbf{r}}_2}{r_2} dl_2 \right] =$$

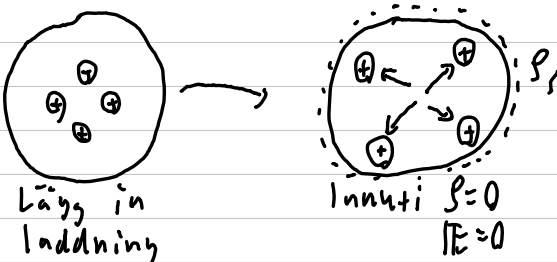
$$= \left\{ \begin{array}{l} \hat{\mathbf{r}}_1 \cdot d\mathbf{r}_1 = dr_1 \\ \hat{\mathbf{r}}_2 \cdot d\mathbf{r}_2 = dr_2 \end{array} \right\} = \frac{\rho_L}{2\pi\epsilon_0} \left[\int_{r^+}^{r_1^+} \frac{dr_1}{r_1} + \int_{r^-}^{r_1^-} \frac{dr_2}{r_2} \right] =$$

$$= \frac{\rho_L}{2\pi\epsilon_0} \ln \left(\frac{r_1^+ r_1^-}{r_1^- r_1^+} \right)$$

Referenspunkten väldigt långt bort $\Rightarrow r_1^+ \approx r_1^-$

$$\Rightarrow V_P = \frac{\rho_L}{2\pi\epsilon_0} \ln \left(\frac{r_1^-}{r_1^+} \right)$$

Metall, Kapitel 3-6:



23/1 Vektorfält och elektro-
magnetisk fältteori

(4)

Innehåll:

- Dipol och metaller

+ Dipol

- Dielektriska material

+ Exempel

- Vattenmolekyler

- Polariseringsfältet

- Potentialbidrag från polariserat material

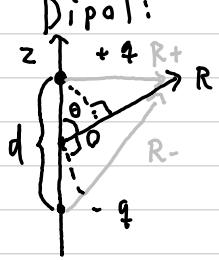
- Samband mellan \mathbf{P} och \mathbf{E}

+ Exempel 3-12

- Skal med olika susceptanser

Dipolen och metaller

Dipol: Med dessa typer av problem är sfäriskt det lämpligaste koordinat-systemet. Summerna potential från två punktladdningar



$$V = \frac{q}{4\pi\epsilon_0} \left(\frac{1}{R_+} - \frac{1}{R_-} \right)$$

Antag att $d \ll R$

$$\frac{1}{R_+} = \left(R - \frac{d}{2} \cos\theta \right)^{-1} \approx \frac{1}{R} \left(1 + \frac{d}{2R} \cos\theta \right)$$

$$\frac{1}{R_-} = \left(R + \frac{d}{2} \cos\theta \right)^{-1} \approx \frac{1}{R} \left(1 - \frac{d}{2R} \cos\theta \right)$$

$$V = \frac{q d \cos\theta}{4\pi\epsilon_0 R^2}$$

Definiera $p = q d \hat{z}$, där $d \hat{z} = d \hat{z}$

Generalisera

$$V = \frac{p \cdot \hat{R}}{4\pi\epsilon_0 R^2}, \quad \hat{R} \text{ pekar i } R \text{ riktning}$$

Elektriska fältet:

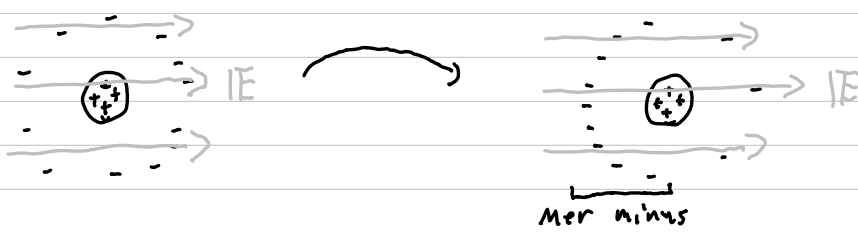
$$E = -\nabla V = -\hat{R} \frac{\partial V}{\partial R} - \hat{\theta} \frac{\partial V}{\partial \theta} = \frac{|p|}{4\pi\epsilon_0 R^3} (\hat{R} \cdot 2\cos\theta + \hat{\theta} \sin\theta)$$

där $|p| = q \cdot d$.

[Kalla Exempel 3-9, 3-11]

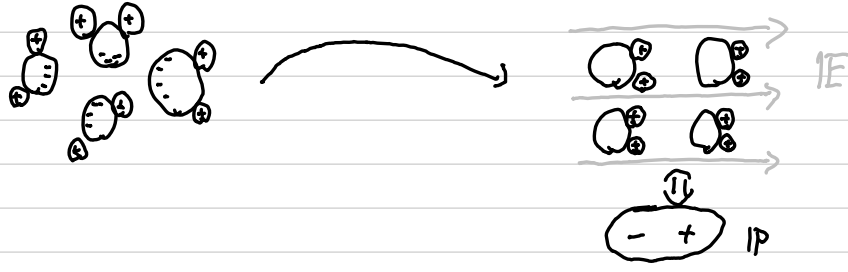
Dielektriska material, Kapitel 3-7:

Om v : har en atom med ett pålagt E-fält,



Detta ersätts oftast av den simplificerade dipolen $- + p$.

Exempel: Vattenmolekyler har en denna fördelning



Polarisationsfältet

Summerna dipolmomentet i en volym ΔV .

$$P = \lim_{\Delta V \rightarrow 0} \frac{\sum_{k=1}^{n\Delta V} p_k}{\Delta V}, \quad \text{Notera dipolmomentet } p \text{ är lilla } p.$$

$$[P] = C/m^2$$

Potentialbidrag från polariserat material:

Använd

$$\nabla' \cdot (f \cdot A) = f \nabla' \cdot A + A \cdot \nabla' f \quad (*)$$

$$A = p \text{ och } f = 1/R$$

Uttryck dipolmoment från en liten volym ΔV

$$\Delta p = p \Delta V', \quad V' \text{ betyder volym}$$

$$d p = p d V'$$

Betrakta $\Delta V'$ som en enda dipol

$$dV = \frac{d p \cdot \hat{R}}{4\pi\epsilon_0 R^2} = \frac{p \cdot \hat{R}}{4\pi\epsilon_0 R^2} dV'$$

potential

volym

Integrera över volym

$$V = \frac{1}{4\pi\epsilon_0} \int_{V'} \frac{p \cdot \hat{R}}{R^2} dV' = \frac{1}{4\pi\epsilon_0} \int_{V'} p \cdot \nabla' \left(\frac{1}{R} \right) dV'$$

$$R^2 = (x - x')^2 + (y - y')^2 + (z - z')^2$$

fältpunkt

källpunkt

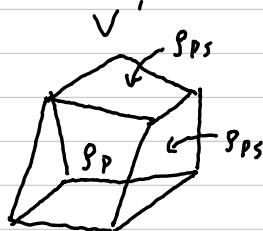
$$\Rightarrow \nabla' \left(\frac{1}{R} \right) = \frac{\hat{R}}{R^2}$$

Använd vektoridentiteten (*)

$$V = \frac{1}{4\pi\epsilon_0} \left[\int_{V'} \underbrace{\nabla' \cdot \left(\frac{p}{R} \right)}_{\text{ren divergens}} dV' - \int_{V'} \underbrace{\frac{\nabla' \cdot p}{R}}_{\text{inte ren divergens}} dV' \right]$$

$$= \frac{1}{4\pi\epsilon_0} \left[\oint_{S'} \frac{p \cdot \hat{n}}{R} dS + \int_{V'} \frac{-\nabla' \cdot p}{R} dV' \right]$$

Identifiera $\rho_{ps} = p \cdot \hat{n}$ Polarisations- och laddnings-täthet
 $\rho_p = -\nabla' \cdot p$ Polarisationsladdnings-täthet (volym)



Tag en godtycklig volym V' . Vad blir polarisationsladdningen i V' ?

$$Q_p = \int_{S'} \rho_{ps} dS' + \int_{V'} \rho_p dV' = 0$$

0 på grund av lika många positiva som negativa laddningar.

$$\nabla \cdot E = \frac{1}{\epsilon_0} (\rho + \rho_p) = \frac{1}{\epsilon_0} (\rho - \nabla \cdot p)$$

$$\Rightarrow \nabla \cdot (\epsilon_0 E + p) = \rho$$

Definiera förskjutningsfältet D som

$$D := \epsilon_0 E + p \quad (\text{kapitel 3-8})$$

$$\Rightarrow \nabla \cdot D = \rho$$

På integral form blir detta

$$\oint_S D \cdot d\vec{S} = Q \quad \text{fri laddning, aktivt har placerat dit till skillnad från polarisationsladdning.}$$

Samband mellan p och E

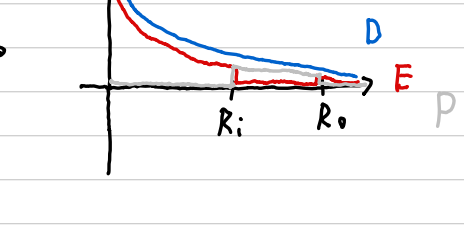
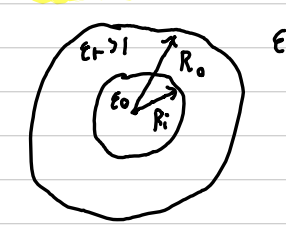
Linjärt isotropt medium gäller att $p = \epsilon_0 \chi_e E$ Elektrisk susceptibilitet (bokstav chi)

$$D = \epsilon_0 E + p = \epsilon_0 (1 + \chi_e) E = \epsilon_0 \epsilon_r E$$

För vakuum är $\chi_e = 0$

[Läs igenom exempel 3-12, 3-14, 3-15]

Exempel 3-12:



24/1 Vektorfält och elektro-
magnetisk fältteori

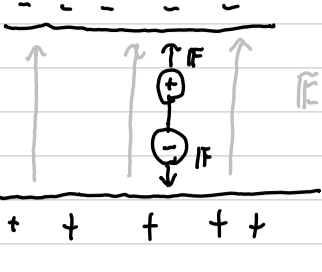
(5)

Innehåll:

- Dipoler fortsättning
 - + Dielektrisk styrka
 - + Randvillkor
 - + Kondensator/kapacitans
 - + Beräkning av kapacitanser
- Elektrostatisk energi
 - + Generalisera till kontinuerlig lednings-
 - + fördelningar
 - + Energiuttrycket för χ_{en} + beräkningar
 - + Exempel att lösa på

Dipoler fortsättning

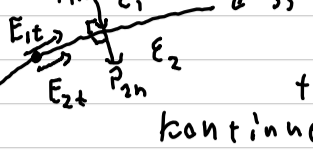
Dielektrisk styrka, kapitel 3-8.1:



Molekyl med en polarisering i ett elektriskt fält kan börja att slitas itu. När de gör detta orsakar de en blyxt.

Styrkan är så starkt fält som kan läggas på innan de slits itu. Finns tabeller.

Randvillkor, kapitel 3-9:

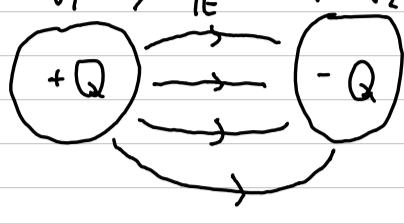


Precis på randen mellan två material är de tangentiella komponenterna kontinuerliga.

$$E_{1t} = E_{2t}$$

$$D_{1n} - D_{2n} = \rho_s$$

Kondensator / kapacitans, kapitel 3-10:



Fältlinjers orientering är efter en positiv testladdning.

Kapacitansen definieras som

$$C := \frac{Q}{V_1 - V_2} = \frac{Q}{\Delta V}$$

Ensam ledare:



För att definiera potentialen V_1 , använd att $V_{ref} = V_{\infty} = 0$

Detta ger kapacitansen

$$C = \frac{Q}{V_1 - V_{\infty}} = \frac{Q}{V_1}$$

Beräkning av kapacitanser:

• Alternativ 1:

- 1) Placera ut $\pm Q$
- 2) Beräkna E med till exempel Gauss lag eller med superposition.
- 3) Beräkna potential skillnaden

$$V_{12} = \int_{P_2}^{P_1} E \cdot dr, \text{ där } P_1, P_2 \text{ är punkter för potentialerna}$$

- 4) Beräkna kapacitansen

$$C = \frac{Q}{|V_{12}|}$$

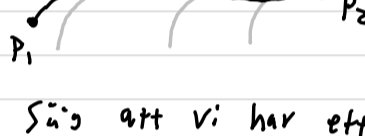
• Alternativ 2:

- 1) Antag V_1 och V_2
- 2) Beräkna $V(R)$
- 3) $E = -\nabla V$
- 4) $Q = \oint_S \epsilon_0 E \cdot d\vec{s}$

- 5) $C = \frac{Q}{|V_1 - V_2|}$

Elektrostatisk energi, kapitel 3-11:

Utgå ifrån definitionen av elektrostatiskt arbete



$$W_{12} = q \int_{P_2}^{P_1} E \cdot dr = q \Delta V$$

Så vi har ett tomt rum och lägger dit en laddning i faget.

- q_1
- q_2
- q_3
- ...
- q_n

För q_1 krävs inset arbete.

För q_2 blir

$$W_2 = q_2 \frac{q_1}{4\pi\epsilon_0 R_{21}}, \text{ där } R_{21} \text{ är avstånd från } q_1 \text{ till } q_2$$

$$W_3 = q_3 \left(\frac{q_1}{4\pi\epsilon_0 R_{31}} + \frac{q_2}{4\pi\epsilon_0 R_{32}} \right)$$

...

$$W_n = q_n \frac{1}{4\pi\epsilon_0} \left(\frac{q_1}{R_{n1}} + \frac{q_2}{R_{n2}} + \dots + \frac{q_{n-1}}{R_{n,n-1}} \right)$$

Total energi blir

$$W_e = \sum_{k=1}^n W_k$$

Gör om beräkningarna fast baklänges.

$$W'_n = q_n \cdot 0, W'_{n-1} = q_{n-1} \left(\frac{q_n}{4\pi\epsilon_0 R_{n-1,n}} \right)$$

...

$$W'_2 = q_2 \frac{1}{4\pi\epsilon_0} \left(\frac{q_n}{R_{2n}} + \frac{q_{n-1}}{R_{2,n-1}} + \dots + \frac{q_3}{R_{23}} \right)$$

$$W'_1 = q_1 \frac{1}{4\pi\epsilon_0} \left(\frac{q_n}{R_{1n}} + \dots + \frac{q_2}{R_{12}} \right)$$

Total energi blir då

$$W_e = \sum_{k=1}^n W'_k, \text{ heter samma } W_e$$

Matematiska tricket för beräkningarna

$$2W_e = \sum_{k=1}^n W'_k + W_k = q_1 V_1 + q_2 V_2 + \dots + q_n V_n$$

$$W_e = \frac{1}{2} \sum_{k=1}^n q_k V_k \text{ (ömsesidig energi)}$$

Alternativ metod finns att finna i kapitel 3-11.

Generalisera till kontinuerlig laddningsfördelningar

$$\left. \begin{array}{l} \sum_{k=1}^n q_k \rightarrow \int \rho dV \\ V_k \rightarrow V(R) \end{array} \right\} \Rightarrow W_e = \frac{1}{2} \int_{V'} V(R) \rho(R) dV'$$

↑ potential
↓ volym
Total energi

Alternativ form, kapitel 3-11.1:

$$W_e = \frac{1}{2} \int_{V'} V(R) \rho(R) dV' = \frac{1}{2} \int_{V'} V(R) (\nabla \cdot D) dV' =$$

$$= \frac{1}{2} \int_{V'} \left\{ \begin{array}{l} \nabla \cdot (V D) = \\ V (\nabla \cdot D) + D \cdot \nabla V \end{array} \right\} = \frac{1}{2} \int_{V'} (\nabla \cdot (V D) - D \cdot \nabla V) dV' =$$

$$= \frac{1}{2} \oint_{S'} V D \cdot d\vec{s} + \frac{1}{2} \int_{V'} D \cdot E dV' = \left[\begin{array}{l} dS \sim R^2 \\ V \sim 1/R, R \gg 1 \\ D \sim 1/R^2 \end{array} \right]$$

Detta ger att ytintegralen måste vara proportionell mot $1/R$. Yt integralen går mot 0 då $R \rightarrow \infty$.

$$\Rightarrow W_e = \frac{1}{2} \int_{V'} V(R) \rho(R) dV' \Leftrightarrow \frac{1}{2} \int_{V'} D \cdot E dV'$$

Energimetoden för kraftberäkning, kapitel 3-11.2:

Vi vill relatera ändring i energi, orsakad av förflyttning, till kraften.

- 1) Antag system av kroppar med fix laddning
- 2) System av (ledande) kroppar med fix potential

- 3) System av kroppar med laddning Q_L . Vid förflyttning blir utför systemet arbetet $dW = F_Q \cdot dr$.

Systemet är isolerat, ingen laddning tillförs.

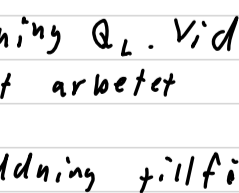
$$dW = -dW_e = F_Q \cdot dr$$

Differentiell förändring av skalär,

$$\text{ekvation 2.88, ger } dW_e = \nabla W_e \cdot dr$$

$$\Rightarrow -\nabla W_e \cdot dr = F_Q \cdot dr$$

$$\Rightarrow F_Q = -\nabla W_e$$



1) Kartesiska koordinater:

$$(F_Q)_x = - \frac{\partial W_e}{\partial x}$$

$$(F_Q)_y = - \frac{\partial W_e}{\partial y}$$

$$(F_Q)_z = - \frac{\partial W_e}{\partial z}$$

Exempel att läsa på:

3-17, 3-18, 3-19, 3-22, 3-24

viktig

viktig

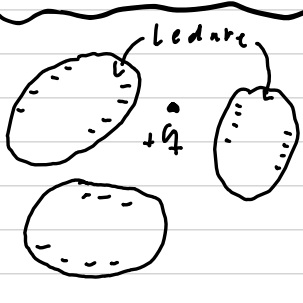
27/1 Vektorfält och elektro-
magnetisk fältteori

(6)

Innehåll:

- Elektrostatiska randvillkor
 - + Poissons och Laplaces ekvationer, härledning
 - + Entydighetssatsen
 - + Speglingsmetoden
 - Exempel
 - + Linjeladdning parallellt med cylinder
- + Numerisk lösning av Poisson
 - Exempel
 - + Större rutnät

Elektrostatiska randvärdesproblem, kapitel 4.1



- 1) Laddning känd
Potentialen känd på ytor
⇒ Bestäm potentialen "överallt".
- 2) Potentialen känd på ytor
⇒ Bestäm potential överallt

Poissans och Laplaces ekvation, härledning:

$$\begin{cases} \nabla \cdot D = \rho \\ \nabla \times E = 0 \end{cases} \Rightarrow \begin{cases} \nabla \cdot (\epsilon E) = \rho \\ E = -\nabla V \end{cases}$$

$$\Rightarrow \nabla \cdot (\epsilon \nabla V) = -\rho$$

Antag ϵ konstant i rummet

$$\Rightarrow \boxed{\nabla^2 V = -\rho/\epsilon} \quad \text{Poissans ekvation}$$

Om ingen laddning

$$\boxed{\nabla^2 V = 0} \quad \text{Laplace ekvation}$$

Entydighetssatsen 4-3:

Med givna randvillkor är lösningen av Laplace och Poissans ekvationer unik.

Beris: Antag motsatsen, visa att den ej är sant.

$$\text{Antag } \nabla^2 V_1 = \rho_1/\epsilon_0$$

$$\nabla^2 V_2 = \rho_2/\epsilon_0$$

Bilda skillnadslösning $V_d = V_1 - V_2$

För skillnadslösningen $\nabla^2 V_d = 0$

Randvillkor $V_d = 0$ på ledare

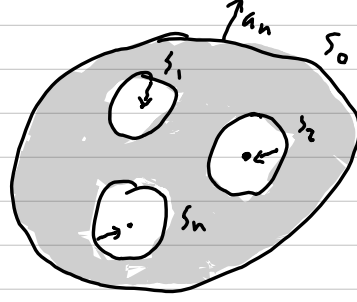
Använd vektoridentitet

$$\nabla \cdot (V_d \nabla V_d) = \underbrace{V_d \nabla^2 V_d}_{=0} + \nabla V_d \cdot \nabla V_d$$

$$\nabla \cdot (V_d \nabla V_d) = \nabla V_d \cdot \nabla V_d$$

Integrera över volym

$$\oint_S V_d \nabla V_d \cdot \vec{a}_n dS = \int_V |\nabla V_d|^2 dV$$



$$S = S_0 + S_1 + S_2 + \dots + S_n$$

$$\text{På } S_1, S_2, \dots, S_n \Rightarrow V_d = 0$$

$$\text{På } S_0 \text{ kanske } V_d = 0$$

Låt S_0 vara sfärisk-ish och låt $R \rightarrow \infty$

$$V \sim \frac{1}{R}, \quad \nabla V_d \sim \frac{1}{R^2}, \quad S \sim R^2$$

$$\Rightarrow \oint V_d \nabla V_d \cdot \vec{a}_n dS \rightarrow 0$$

$\nabla V_d \cdot \vec{a}_n$ kan också vara 0.

Om vänster ledet i integralekvationen är 0

$$\text{måste också } \int_V |\nabla V_d|^2 dV = 0$$

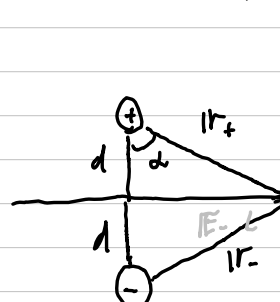
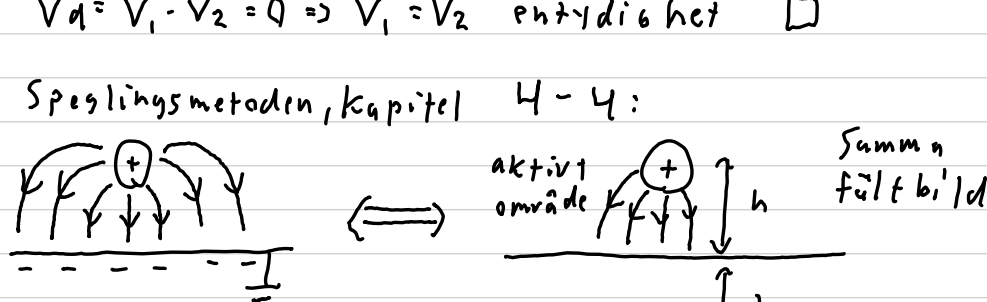
$$\text{uppfylls bara om } |\nabla V_d|^2 = 0 \Rightarrow \nabla V_d = 0$$

V_i har $V_d = 0$ på randen.

⇒ $V_d = 0$ överallt

$$V_d = V_1 - V_2 = 0 \Rightarrow V_1 = V_2 \quad \text{entydighet} \quad \square$$

Spelingsmetoden, kapitel 4-4:



Potential i planet:

$$V = \frac{1}{4\pi\epsilon_0} \left(\frac{Q}{|r_+|} - \frac{Q}{|r_-|} \right) = 0$$

$$\text{ty } |r_+| = |r_-|$$

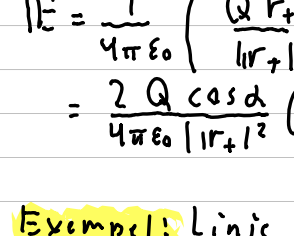
E hamnar helt i \hat{z} -led.

Summerna

$$E = \frac{1}{4\pi\epsilon_0} \left(\frac{Q}{|r_+|^2} \hat{r}_+ - \frac{Q}{|r_-|^2} \hat{r}_- \right), \text{ ersätt } \begin{cases} \hat{r}_+ = -\hat{z} \cos d \\ \hat{r}_- = \hat{z} \cos d \end{cases}$$

$$= \frac{2Q \cos d}{4\pi\epsilon_0 |r_+|^2} (-\hat{z}) = \frac{Q \cos d}{2\pi\epsilon_0 |r_+|^2} (-\hat{z})$$

Exempel: Linje laddning parallellt med cylinder



- a = radie av cylinder
- d_i = avstånd till spegellinje
- d = avstånd från linjeladdning

Vi vill kunna hitta en spegelladdning så att cylindern kan ersättas med en linje laddning.

$$V = \frac{\rho_l}{2\pi\epsilon_0} \ln\left(\frac{r_-}{r_+}\right) \quad V(r, d)$$

Vi uttrycker potentialen i $V(a, 0)$ och $V(a, \pi)$

$$V = \frac{\rho_l}{2\pi\epsilon_0} \ln\left(\frac{a-d_i}{d-a}\right) = \frac{\rho_l}{2\pi\epsilon_0} \ln\left(\frac{a+d_i}{d+a}\right)$$

$$\Rightarrow \frac{a-d_i}{d-a} = \frac{a+d_i}{d+a} \Rightarrow d_i = \frac{a^2}{d}$$

Numerisk lösning av Poisson:

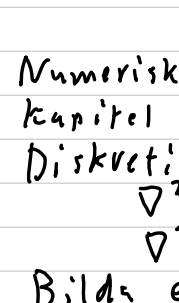
kapitel 4-4 i "Elfält sammandrag".

Diskretisera ∇^2 -operatören i ekvationerna

$$\nabla^2 V = 0$$

$$\nabla^2 V = -\rho/\epsilon$$

Bilda ett rutnät av området S från beviset tidigare



$$\left(\frac{\partial V}{\partial x}\right)_1 \approx \frac{V_1 - V_0}{h}$$

$$\left(\frac{\partial V}{\partial x}\right)_2 \approx \frac{V_0 - V_2}{h}$$

$$\left(\frac{\partial^2 V}{\partial x^2}\right)_0 \approx \frac{\left(\frac{\partial V}{\partial x}\right)_1 - \left(\frac{\partial V}{\partial x}\right)_2}{h} \approx \frac{V_1 + V_2 - 2V_0}{h^2}$$

På samma sätt i y-led.

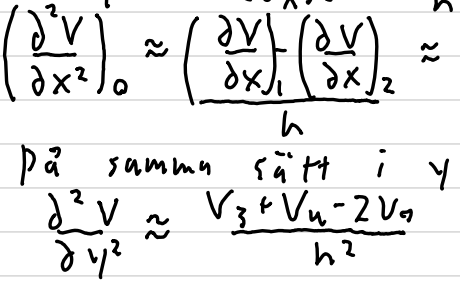
$$\frac{\partial^2 V}{\partial y^2} \approx \frac{V_3 + V_4 - 2V_0}{h^2}$$

$$\left(\nabla^2 V\right)_0 \approx \left(\frac{\partial^2 V}{\partial x^2}\right)_0 + \left(\frac{\partial^2 V}{\partial y^2}\right)_0 \approx \frac{V_1 + V_2 + V_3 + V_4 - 4V_0}{h^2}$$

För $\nabla^2 V = 0$ fås

$$V_0 = \frac{1}{4} (V_1 + V_2 + V_3 + V_4)$$

Exempel: Större rutnät:



- symmetri: $V_1 = V_4, V_2 = V_3, V_3 = V_6$
- uttryck V_1, V_2, V_3

$$\begin{cases} V_1 = \frac{1}{4} (V_2 + 0 + 0 + V_1) \\ V_2 = \frac{1}{4} (V_2 + 0 + V_1 + V_2) \\ V_3 = \frac{1}{4} (1000 + 0 + V_2 + V_3) \end{cases} \quad \begin{array}{l} V_i \text{ fick ett} \\ \text{ekvationsystem} \\ \} \text{ 3 ekvationer} \\ \} \text{ 3 obekanta.} \end{array}$$

$$4 \begin{bmatrix} V_1 \\ V_2 \\ V_3 \end{bmatrix} = \begin{bmatrix} 1 & 1 & 0 \\ 1 & 1 & 1 \\ 0 & 1 & 1 \end{bmatrix} \begin{bmatrix} V_1 \\ V_2 \\ V_3 \end{bmatrix} + \begin{bmatrix} 0 \\ 0 \\ 1000 \end{bmatrix}$$

$$V_1 \approx 47.6 \text{ V}$$

$$V_2 \approx 142.6 \text{ V}$$

$$V_3 \approx 381.0 \text{ V}$$

30/1

Vektorfält och elektro-
magnetisk fältteori

(7)

Innehåll:

- Elektrisk ström
 - + Definition
 - Elektrisk ström
 - + Kontinuitetskvationen
 - + Ohms lag
 - + Ohms lag i metall
 - + Relaxationstid
 - + Jules lag

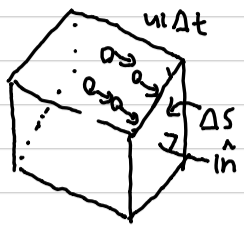
Elektrisk ström

Kapitel 5-1, 5-2.

Orka typer av ström

- Konduktorsström: rörelse/drift av elektroner i metall/halvledare
- Konvektionsström: laddningar i rörelse i vacuum.

Definition: Elektrisk ström definieras som laddningar per tidsenhet.



$$\Delta Q = Nq u_i \cdot \hat{n} \Delta S \Delta t$$

$$\Delta i := \frac{\Delta Q}{\Delta t} = Nq (u_i \cdot \hat{n}) \Delta S$$

Laddningsföretet
 N (1/m³)

Generalisera för fler laddningsbärare $\Delta \vec{S} = \Delta S \hat{n}$

$$\Delta i = \underbrace{\sum_j (N_j q_j u_{ij})}_{\vec{J} \leftarrow \text{ström}} \cdot \Delta \vec{S}$$

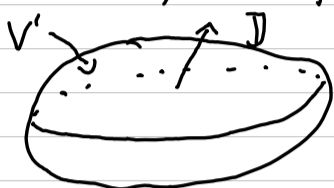
$$\Delta i = \vec{J} \cdot \Delta \vec{S}$$

Ström genom en yta:

$$I = \int_S \vec{J} \cdot d\vec{S}$$

Kontinuitetslikningen kapitel 5-2:

Laddning kan ej förstöras/skapas bara flyttas.



$$\Delta Q = -I \Delta t = -\Delta t \oint_S \vec{J} \cdot d\vec{S}$$

[$\Delta \rightarrow d$]

\vec{J} är definierat ut från ytan.

$$-\frac{dQ}{dt} = \oint_S \vec{J} \cdot d\vec{S} \quad (\text{Integralform})$$

$$\oint_S \vec{J} \cdot d\vec{S} = \int_{V'} \nabla \cdot \vec{J} \cdot dV' = -\frac{d}{dt} \left(\int_{V'} \rho dV' \right)$$

$$\int_{V'} \nabla \cdot \vec{J} + \frac{\partial \rho}{\partial t} dV' = 0$$

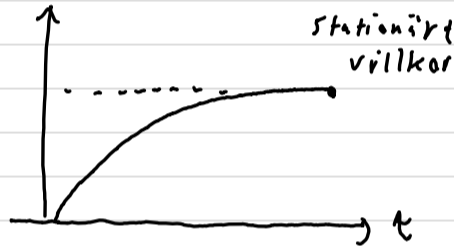
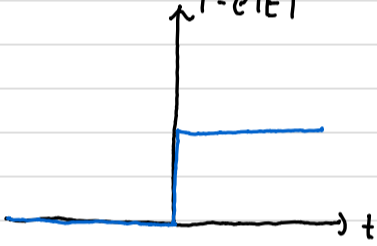
V' godtycklig $\nabla \cdot \vec{J} = -\frac{\partial \rho}{\partial t}$ på punktform

Statiska fall ger att $\nabla \cdot \vec{J} = 0$ (likström).

Ohms lag:

Elektroners rörelse beskrivs med Newtons andra lag ($F = ma$)

$$m_e \frac{du}{dt} + m_e v \cdot u = -e E \quad |u|$$



Lösning:

$$u_i(t) = \frac{-e E_i}{m_e v} [1 - \exp(-vt)]$$

Stationärt tillstånd $t \rightarrow \infty$

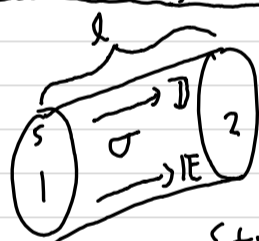
$$u = -\frac{e E}{m_e v} = \mu_e E \quad \text{mobilitet}$$

Om vi betraktar "många" laddningar men en laddningsbärartyp

$$\vec{J} = -e N u = \frac{N e^2}{m_e v} E = \underbrace{N e \mu_e}_{\sigma} E$$

$$\vec{J} = \sigma E \quad \text{Ohms lag}$$

Ohms lag i metall, kapitel 5-3



$$E\text{-fält: } E = \frac{V_{12}}{l}$$

$$\text{Ström } I = \int_S \vec{J} \cdot d\vec{S} = (J) \cdot S = JS$$

$$\text{Strömtäthet } J = \frac{I}{S}$$

Sätt in i Ohms lag

$$\frac{I}{S} = \sigma \frac{V_{12}}{l} \Rightarrow V_{12} = \frac{l}{\sigma S} I$$

$:= R$

Definition: Resistans definieras som

$$R := \frac{l}{\sigma S}$$

Relaxations tid, kapitel 5-4:

Laddning i en metall fördelar sig så $E = 0$ inuti.

$$\nabla \cdot \vec{J} = -\frac{\partial \rho}{\partial t}$$

$$\sigma \nabla \cdot E = -\frac{\partial \rho}{\partial t}$$

$$\Rightarrow \sigma \frac{\rho}{\epsilon} + \frac{\partial \rho}{\partial t} = 0$$

Lösning:

$$\rho = \rho_0 \exp\left[-\frac{\sigma}{\epsilon} t\right] \quad \tau := \frac{\epsilon}{\sigma} \quad \text{relaxationstid}$$

Jules lag, kapitel 5-5:

E -fältet skapar kraft

Valenselektroner rör sig. Detta kostar energi. Hur mycket?

$$\Delta W = q E \cdot \Delta r$$

Motsvarande effekt

$$\Delta p = \frac{\Delta W}{\Delta t} = q E \cdot \frac{\Delta r}{\Delta t}$$

$$p = \lim_{\Delta t \rightarrow 0} \frac{\Delta W}{\Delta t} = q E \cdot u$$

Effekt i volymen dV

$$dp = \sum_i dp_i = E \cdot \sum_i (N_i q_i u_i) dV$$

för laddningsbärare

$$= E \cdot \vec{J} dV$$

$$\text{Effekttäthet } \frac{dp}{dV} = E \cdot \vec{J}$$

för godtycklig volym V .

$$P = \int_{V'} E \cdot \vec{J} dV'$$

13/2 Vektorfält och elektro-
magnetisk fältteori

8

Innehåll:

- Magnetfältet
 - + Definition
 - + Två postulat
 - + Postulat på integralform
 - + Exempel
 - B-fält från en tråd
 - + Vektorpotential
- + Biot-Savats lag
 - + Exempel
 - A och B med hjälp av Biot-Savats lag

Magnetfältet

Kapitel 6-1 och Kapitel 6-2.

Definition: Den magnetiska kraften beskrivs som $\mathbf{F}_m = q(\mathbf{u} \times \mathbf{B})$, Kraften är vinkelrät mot elfältet.

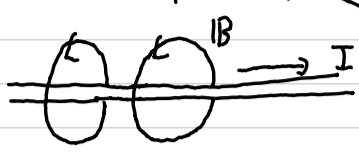
TVå postulat:

$$\nabla \cdot \mathbf{B} = 0$$

Divergens = 0

$$\nabla \times \mathbf{B} = \mu_0 \mathbf{J}$$

Rotation är nollskild



Likström

Är postulaten konsistenta?

$$\nabla \cdot (\nabla \times \mathbf{A}) = 0 \Rightarrow 0 = \nabla \cdot (\nabla \times \mathbf{B}) = \nabla \cdot (\mu_0 \mathbf{J}) = \mu_0 \nabla \cdot \mathbf{J}$$

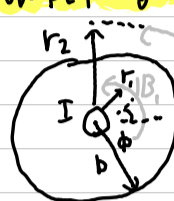
Stämmer enligt kontinuitetsekvationen

Postulat på integral form:

$$\oint_S \mathbf{B} \cdot d\mathbf{s} = 0$$

$$\int_C \mathbf{B} \cdot d\mathbf{r} = \mu_0 I$$

Exempel 6-1: B-fält inuti ledaren



Högerhandsregeln $\mathbf{B}_1 = \hat{\phi} B_\phi$
Skapar en Gaussyta för då B-fältet är konstant, en symmetri. Kallas ampèreslinga

$$d\mathbf{r} = \hat{\phi} r_1 d\phi$$

$$\int_{C_1} \mathbf{B}_1 \cdot d\mathbf{r} = \int_0^{2\pi} B_\phi r_1 d\phi = 2\pi r_1 B_\phi$$

$$I_1 = I \frac{\pi r_1^2}{\pi b^2} = \frac{r_1^2}{b^2} I \Rightarrow 2\pi r_1 B_\phi = \mu_0 \frac{r_1^2}{b^2} I$$

$$\Rightarrow B_\phi = \frac{\mu_0 r_1 I}{2\pi b^2}$$

För B_2 är den inneslutna strömmen hela I. Utanför ledaren blir

$$B_\phi = \frac{\mu_0 I}{2\pi r_2}$$

[För en ihålig ledare är B-fältet lika med 0 inuti ledaren.]

Vektorpotential, Kapitel 6-3:

Vi har redan att $\nabla \cdot (\nabla \times \mathbf{A}) = 0$. Vi har också att $\nabla \cdot \mathbf{B} = 0$. Då kan vi definiera vektorpotentialen \mathbf{A} enligt $\mathbf{B} = \nabla \times \mathbf{A}$.

Enligt rotationspostulatet har vi $\nabla \times \mathbf{B} = \mu_0 \mathbf{J} \Rightarrow \nabla \times (\nabla \times \mathbf{A}) = \nabla(\nabla \cdot \mathbf{A}) - \nabla^2 \mathbf{A} = \mu_0 \mathbf{J}$

Vi får välja vad divergensen av \mathbf{A} blir. Vi väljer ett enkelt tal, $\nabla \cdot \mathbf{A} = 0$.

$$\Rightarrow -\nabla^2 \mathbf{A} = \mu_0 \mathbf{J} \quad (\text{Vektor Poisson})$$

$$\begin{cases} -\nabla^2 A_x = \mu_0 J_x \\ -\nabla^2 A_y = \mu_0 J_y \\ -\nabla^2 A_z = \mu_0 J_z \end{cases} \quad \begin{array}{l} \text{I elektrostatiken hade vi } \nabla^2 V = -\rho/\epsilon \\ V = \frac{1}{4\pi\epsilon_0} \int \frac{\rho}{R} dV' \end{array}$$

Vi kan identifiera

$$A_z = \frac{\mu_0}{4\pi} \int \frac{J_z}{R} dV'$$

Biot-Savarts lag, Kapitel 6-4:

Beräkna \mathbf{B} från \mathbf{J} genom att utgå från

$$\mathbf{A} = \frac{\mu_0}{4\pi} \int \frac{\mathbf{J}}{R} dV'$$

$$\mathbf{B} = \nabla \times \mathbf{A}$$

$$\Rightarrow \mathbf{B} = \frac{\mu_0}{4\pi} \int \nabla \times \frac{\mathbf{J}}{R} dV'$$

Vi vet att $\nabla \times f\mathbf{G} = f\nabla \times \mathbf{G} + \nabla f \times \mathbf{G}$.
I vårt fall: $f = 1/R$, $\mathbf{G} = \mathbf{J}$

$$\Rightarrow \mathbf{B} = \frac{\mu_0}{4\pi} \int \frac{1}{R} \underbrace{\nabla \times \mathbf{J}}_{=0} + \underbrace{\nabla\left(\frac{1}{R}\right)}_{=-\frac{\hat{R}}{R^2}} \times \mathbf{J} dV'$$

[Rotation i fältpunkt = 0 för \mathbf{J}]

$$\Rightarrow \mathbf{B} = \frac{\mu_0}{4\pi} \int \frac{\mathbf{J} \times \hat{R}}{R^2} dV'$$

Jämför med elektrostatiken

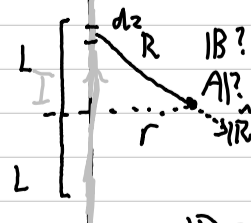
$$\mathbf{E} = \frac{1}{4\pi\epsilon_0} \int \frac{\rho \hat{R}}{R^2} dV'$$

[\hat{R} pekar från källpunkt till fältpunkt]

Biot-Savarts lag från en ström ger att

$$\mathbf{J} dV' = I d\mathbf{r} \Leftrightarrow \mathbf{B} = \frac{\mu_0 I}{4\pi} \int_C \frac{d\mathbf{r} \times \hat{R}}{R^2}$$

Exempel 6-4b: Ledare med ström I, längd 2L, centrerad vid $z=0$ i \hat{z} riktning. Vad är \mathbf{A} och \mathbf{B} som ligger r från ledaren.



Lösning: Mha Biot-Savarts lag

$$\mathbf{B} = \int d\mathbf{B} = \int_{-L}^L \frac{\mu_0 I}{4\pi} \frac{d\mathbf{r} \times \hat{R}}{R^2}$$

$$\mathbf{R} = \hat{r}r - \hat{z}z, \quad d\mathbf{r} = \hat{z} dz$$

$$d\mathbf{r} \times \mathbf{R} = \hat{z} dz \times (\hat{r}r - \hat{z}z) = \hat{\phi} r dz$$

$$|\mathbf{R}| = R = \sqrt{r^2 + z^2}$$

$$\mathbf{B} = \hat{\phi} \frac{\mu_0 I}{4\pi} \int_{-L}^L \frac{r dz}{(r^2 + z^2)^{3/2}} = \dots = \hat{\phi} \frac{\mu_0 L}{2\pi r \sqrt{L^2 + r^2}}$$

14/2 Vektorfält och elektro-
magnetisk fältteori

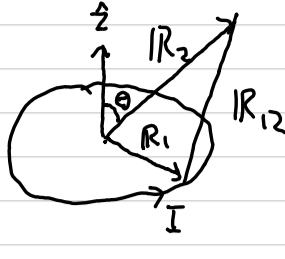
(9)

Innehåll:

- Magnetostatik
 - + Magnetisk dipol
 - + Magnetiseringsfältet M
 - + Vektorpotential från ett magnetiserat material
 - + H-fältet
 - + Tre typer av material
 - + Exempel
 - Beräkning av B-fält
 - Magnetiska kretsar

Magnetostatik

Magnetisk dipol, Kapitel 6-5:



$$A = \frac{\mu_0 I}{4\pi} \oint \frac{d\mathbf{l}}{R_{12}} = \frac{\mu_0 I}{4\pi} \int d\mathbf{S} \times \nabla \left(\frac{1}{R_{12}} \right) = \frac{\mu_0 I}{4\pi} \int d\mathbf{S} \times \frac{\mathbf{R}_{12}}{R_{12}^3}$$

$$\approx \frac{\mu_0 I}{4\pi} \int d\mathbf{S} \times \frac{\mathbf{R}_2}{R_2^3}, \text{ för } R_2 \gg R_1$$

$$\left[\mathbf{m} = I \int d\mathbf{S}, \text{ magnetisk dipol moment} \right]$$

$$\Rightarrow A = \frac{\mu_0}{4\pi} \mathbf{m} \times \frac{\mathbf{R}_2}{R_2^3}$$

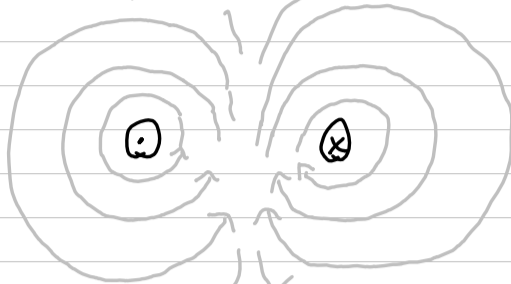
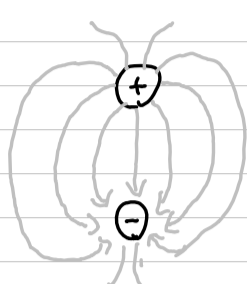
I sföriska koordinater

$$m = |\mathbf{m}| \hat{z}$$

$$A = \hat{\phi} \frac{\mu_0}{4\pi} \frac{m \sin \theta}{R}, \text{ där } m = |\mathbf{m}|$$

$$\mathbf{B} = \nabla \times \mathbf{A} = \frac{\mu_0 m}{4\pi R^3} (\hat{R} 2 \cos \theta + \hat{\theta} \sin \theta)$$

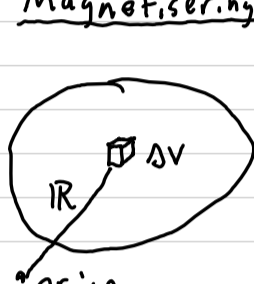
Jämför med elektrostatiken



Slutna fältlinjer
Rotation, istället för
divergens

På avstånd ser dessa likadana ut.

Magnetiserings fältet M, Kapitel 6-6:



$$M(\mathbf{R}) = \lim_{\Delta V \rightarrow 0} \frac{\sum_{k=1}^{n\Delta V} \mathbf{m}_k}{\Delta V}$$

Differentiell kalkyl

$$M = \frac{d\mathbf{m}}{dV}$$

Vektorpotential från ett magnetiserat material

$$\text{Från } dV: dA_m(\mathbf{R}) = \frac{\mu_0}{4\pi} \frac{M dV \times \mathbf{R}_{12}}{R_{12}^3}$$

Från volymen:

$$A_m(\mathbf{R}_2) = \frac{\mu_0}{4\pi} \int_V \frac{M dV \times \mathbf{R}_{12}}{R_{12}^3} = \dots = \frac{\mu_0}{4\pi} \int_V \frac{\nabla \cdot (M(\mathbf{R}_1))}{R_{12}} dV + \frac{\mu_0}{4\pi} \oint_S \frac{M(\mathbf{R}_1) \times d\mathbf{S}}{R_{12}}$$

Identifiera

$$\mathbf{J}_m(\mathbf{R}_1) = \nabla \times M(\mathbf{R}_1)$$

$$\mathbf{J}_{ms}(\mathbf{R}_1) = M \times \hat{n}$$

H-fältet, Kapitel 6-7:

Jämför med D-fält i elektrostatiken.

$$\frac{1}{\mu_0} \nabla \times \mathbf{B} = \mathbf{J}_{fri} + \mathbf{J}_m = \mathbf{J}_{fri} + \nabla \times M$$

$$\nabla \times \left(\frac{\mathbf{B}}{\mu_0} - M \right) = \mathbf{J}_{fri}$$

$$:= \mathbf{H}$$

Postulater blir då $\nabla \times \mathbf{H} = \mathbf{J}_{fri}$

Hur ser detta ut i ett magnetiserat material?



tvärsnitt av ett material.
Kan betraktas som ett
flertal dipoler, med olika
täthet

I ett homogent magnetiserat material:

$$\nabla \times M = 0$$

$$M \times \hat{n} \neq 0 \text{ "Magnetiseringsström går på ytan."}$$

Tillbaks till H-fältet

$$\mathbf{B} = \mu_0 (\mathbf{H} + M)$$

M skapas då vi lägger på fält. M beror av H.

Modellerar $M = \chi_m \mathbf{H}$, χ_m är magnetisk susceptibilitet.

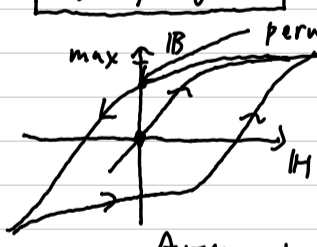
$$\Rightarrow \mathbf{B} = \mu_0 (\mathbf{H} + M) = \mu_0 (1 + \chi_m) \mathbf{H} = \mu_0 \mu_r \mathbf{H}$$

Tre typer av magnetiska material, Kapitel 6-9

- Diamagnetiska χ_m (liten och negativ)
- Paramagnetik χ_m (liten och positiv)
- Ferro magnetiska χ (stor och positiv)



Alla ska röra sig åt samma
håll. Det finns dock en
tröghet.

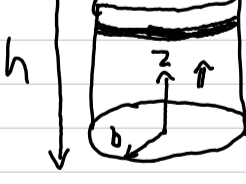


Düremat vid sänkning av
H-fält vill B förbli där
den var.

Area \propto Energi ätgång

Exempel 6-8:

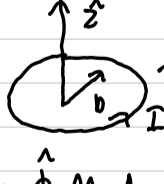
Vad är B fältet i (0,0,z)



$$ID_m = \nabla \cdot M = 0, \text{ ty } M \text{ konstant. med avseende på ickepunkt}$$

$$\mathbf{J}_{ms} = M \times \hat{n} = \begin{cases} 0, & z=0 \text{ eller } z=h \\ \hat{z} M \times \hat{r} = \hat{\phi} M \end{cases}$$

$$\text{Ekvation 6-38: } B = \frac{\hat{z} \cdot \mu_0 I b^2}{2(z^2 + b^2)^{3/2}}$$



$$dI_{ms} = \hat{\phi} M dz \Rightarrow B = \int dI = \hat{z} \int_0^L dB = \dots = \hat{z} \left(\frac{\mu_0 M}{2} \frac{z}{\sqrt{z^2 + b^2}} - \frac{z-L}{(z-L)^2 + b^2} \right)$$

Magnetiska kretsar, Kapitel 6-8

Amperes lag

$$\oint_C \mathbf{H} \cdot d\mathbf{l} = I_{fri}$$



Integralen C omsluter

N lindningsvarv

$$\oint_C \mathbf{H} \cdot d\mathbf{l} = N I_{fri}$$

$$H \cdot 2\pi r_0 = N I_{fri} \Leftrightarrow H \cdot L = N \cdot I_{fri}$$

$$\Phi = \int_S \mathbf{B} \cdot d\mathbf{S} \quad \text{om } B \text{ konstant } \Rightarrow \Phi = B \cdot s$$

$$\text{över ytan} \quad \Phi = \mu H s$$

Vi vill nu uttrycka $H \cdot L = N \cdot I$ mha Φ .

$$\Phi \cdot \frac{L}{\mu s} = N I \rightarrow \Phi R = N I$$

Reluktans

16/2 Vektorfält och elektro-
magnetisk fältteori

(10)

Innehåll:

- Tidsvarierande fält
 - + Induktans och induktorer
 - + Självinduktans
 - + Exempel
 - Självinduktans i rektangulär forus
 - + Energi för att bygga upp fältet
 - + Energi metoden för kraftberäkningar
 - + Amperes kraftlag
 - + Exempel
 - Kraftrotation på grund av ström

Tidsvarierande fält

Induktans och induktorer, Kapitel 6-11:

C_1 kopplar till C_2 med ett magnetiskt flöde Φ
 $\Phi_{12} = \int_{S_2} \mathbf{B}_1 \cdot d\vec{S}_2 = L_{12} I_1$
 ömsesidig induktans

Länkat flöde: $\Lambda_{12} = N_2 \Phi_{12}$

Generaliserat:

$$\Phi_{12} = L_{12} I_1$$

$$\Rightarrow \Lambda_{12} = L_{12} I_1$$

$$L_{12} = \frac{\Lambda_{12}}{I_1}$$

Självinduktans:

$\Phi_{11} = \int_{S_1} \mathbf{B}_1 \cdot d\vec{S}_1 = L_{11} I_1$
 Generaliserat
 $\Lambda_{11} = N_1 \Phi_{11}$

Beräkning:

- 1) Antag ström I_1
- 2) Beräkna B_1 med Amperes lag eller Biot-Savarts lag.
- 3) Beräkna Φ_{12} eller Φ_{11} med en integral
- 4) Beräkna Λ_{12} eller Λ_{11}
- 5) Beräkna $L_{12} = \frac{\Lambda_{12}}{I_1}$ eller $L_{11} = \frac{\Lambda_{11}}{I_1}$

[Notera likheten med beräkning av kapacitans]

Exempel 6-14:

$B_1: \mathbf{B} = \hat{\phi} B_\phi$
 $d\vec{l} = \hat{\phi} r d\phi$
 Symmetrier ger Amperes lag
 $\mu_0 N I_1 = \int_C \mathbf{B} \cdot d\vec{l}$
 $= \int_C B_\phi r d\phi = 2\pi r B_\phi$
 $\Rightarrow B_\phi = \frac{\mu_0 N I}{2\pi r}$

Självinduktans, vill ha flödet Φ_{11}

$$\Phi_{11} = \int_S \hat{\phi} \frac{\mu_0 N I}{2\pi r} \cdot \hat{\phi} h dr = \frac{\mu_0 N^2 I h}{2\pi} \ln\left(\frac{b}{a}\right)$$

$$\Lambda_{11} = N \Phi_{11}, L_{11} = \frac{\Lambda_{11}}{I} = \frac{\mu_0 N^2 h}{2\pi} \ln\left(\frac{b}{a}\right)$$

Magnetisk energi, Kapitel 6-12:

$$\nabla \times \mathbf{E} = -\frac{d\mathbf{B}}{dt} \quad \int_S \nabla \times \mathbf{E} \cdot d\vec{S} = -\int_S \frac{d\mathbf{B}}{dt} \cdot d\vec{S}$$

$$\int_C \mathbf{E} \cdot d\vec{l} = -\frac{d\Phi}{dt} = \mathcal{E}_{ind}$$

inducerad spänning

$$\mathcal{E}_{ind} = -\frac{d\Phi}{dt} = -\frac{d(Li)}{dt} = -L \frac{di}{dt}$$

Antag resistanslös slinga

$$U + \mathcal{E}_{ind} = 0$$

Energi för att bygga upp fältet

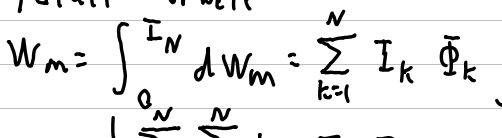
$$dW_m = dW_{batteri} = U i dt = -\mathcal{E}_{ind} i dt = i d\Phi = i L di$$

$$\left\{ \Phi = Li \Rightarrow \frac{d\Phi}{di} = L \Rightarrow d\Phi = L di \right\}$$

Integrera för att få totala arbetet

$$W_m = \int_0^I dW_m = \int_0^I i L di = \frac{1}{2} L I^2$$

För N stycken slingor:



Totalt arbete

$$W_m = \int_0^{I_N} dW_m = \sum_{k=1}^N I_k \Phi_k \int_0^1 \alpha d\alpha = \frac{1}{2} \sum_{k=1}^N \Phi_k I_k$$

$$= \frac{1}{2} \sum_{k=1}^N \sum_{l=1}^N \frac{L_{lk} I_l I_k}{\Phi_k}$$

Magnetisk energi i \mathcal{J} och \mathbf{A} , och i \mathcal{H} och \mathbf{B}

$$U_{tryck} \Phi = \int_S \mathbf{B} \cdot d\vec{S} = \oint_L \mathbf{A} \cdot d\vec{l}$$

$$\mathcal{I} = \int_S \mathcal{J} \cdot d\vec{S}$$

Ersätt summor med integraler

$$W_m = \frac{1}{2} \int_V \mathcal{J} \cdot \mathbf{A} dV = \dots = \frac{1}{2} \int_V \mathcal{H} \cdot \mathbf{B} dV$$

Energi, metoden för kraftberäkningar, Kapitel 6-13.3:

Uttryck energi som funktion av förflyttning. Energin kan uttryckas i \mathcal{I} och Φ . Två fall:

1) Håll Φ konstant, låt \mathcal{I} variera

2) Håll \mathcal{I} konstant, låt Φ variera

Fall 1: Antag liten förflyttning $d\vec{l}$.

\Rightarrow Ingen inducerad spänning

\Rightarrow Ingen energi tillförs

Mekaniskt arbete för förflyttning $d\vec{l}$ ut förs på bekostnad av lagrad energi

$$\mathbf{F}_\Phi \cdot d\vec{l} = -dW_m = -(\nabla W_m) \cdot d\vec{l}$$

$$\Rightarrow \boxed{\mathbf{F}_\Phi = -\nabla W_m}$$

Fall 2:

$$\boxed{\mathbf{F}_\mathcal{I} = \nabla W_m}$$

Amperes kraftlag, Kapitel 6-13.2

$\mathbf{F} = q \mathbf{u} \times \mathbf{B}$
 Vad blir kraften på strömförande ledare?
 Ledare: $d\vec{l}$
 Tvärsnittsarea: S
 Laddningsbärare per volymsenhet: N [N] = $1/m^3$
 Laddningarnas hastighet: \mathbf{u}

$$d\mathbf{F}_m = N q S |d\vec{l}| \mathbf{u} \times \mathbf{B}$$

$$= N q dV \mathbf{u} \times \mathbf{B}$$

$$= N q \mathbf{u} \times \mathbf{B} dV$$

$$= \mathcal{J} \times \mathbf{B} dV$$

Kraften på volymen V'

$$\mathbf{F}_m = \int_{V'} \mathcal{J} \times \mathbf{B} dV'$$

Betrakta tråd med längd $d\vec{l}$, radie a

$$d\mathbf{F}_m = \mathcal{J} \times \mathbf{B} \pi a^2 d\vec{l}$$

$$= \mathcal{J} \pi a^2 d\vec{l} \times \mathbf{B}$$

$$= \mathcal{I} d\vec{l} \times \mathbf{B}$$

Kraft på en slinga

$$\mathbf{F}_m = \mathcal{I} \int_C d\vec{l} \times \mathbf{B}$$

Exempel 6-21:



20/2 Vektorfält och elektro-
magnetisk fältteori

(11)

Innehåll:

- Induktion

+ Tre fall

- Fall 1: Stationär slinga tidsvarierande B -fält
- Fall 2: Rörlig slinga, stationärt B -fält
- Fall 3: Rörlig slinga och tidsvarierande B -fält

+ Exempel

- Roterande slinga i B -fält

+ Exempel

- Kapacitans med krets

Induktion

Kapitel 7-1 och 7-2

$$\nabla \times \mathbf{E} = - \frac{d\mathbf{B}}{dt}, \text{ Faradays postulat/Lag}$$

$$\int_S \nabla \times \mathbf{E} \cdot d\vec{s} = - \int_S \frac{d\mathbf{B}}{dt} \cdot d\vec{s}$$

$$\oint_C \mathbf{E} \cdot d\vec{l} = - \frac{d\Phi}{dt} = \mathcal{E}_{ind}$$

Tre fall:

1) Fix slinga i $\mathbf{B}(t)$

2) Rörlig ledare i statisk $\mathbf{B}(t)$

3) Rörlig ledare i $\mathbf{B}(t)$

Fall 1: Tidsvarierande \mathbf{B} -fält

$$\mathcal{E}_{ind} = - \frac{d\Phi}{dt} = - \frac{d}{dt} \int_S \mathbf{B} \cdot d\vec{s}$$

$\nabla \times \mathbf{E} = - \frac{d\mathbf{B}}{dt}$, ej rotationsfritt, som i elektrostatiken

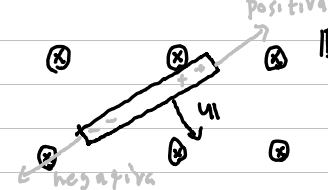
Använd $\mathbf{B} = \nabla \times \mathbf{A}$

$$\nabla \times \mathbf{E} = - \frac{d(\nabla \times \mathbf{A})}{dt}, \text{ byt ordning p\u00e5 } d/dt \text{ och } \nabla \times$$

$$\nabla \times \left(\mathbf{E} + \frac{d\mathbf{A}}{dt} \right) = 0 \Rightarrow \mathbf{E} + \frac{d\mathbf{A}}{dt} \text{ \u00e4r konservativt}$$

$$\Rightarrow \mathbf{E} = - \nabla V - \frac{d\mathbf{A}}{dt} \leftarrow \begin{array}{l} \text{tidsvarierande} \\ \text{str\u00f6mmar} \\ \text{laddning} \end{array}$$

Fall 2: Rörlig ledare



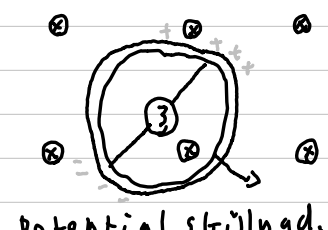
$\mathbf{F}_m = q \mathbf{v} \times \mathbf{B}$
 Detta skapar tv\u00e5 poler, en positiv och en negativ. Dessa vill sedan utj\u00e4mnas igen.

Kraft balans: $-\nabla V + \mathbf{F}_m/q = 0$
 $\Rightarrow \nabla V = \mathbf{v} \times \mathbf{B}$

Det finns d\u00e5 en anv\u00e4ndbar potentialskillnad mellan \u00e4ndarna.

$$V_2 - V_1 = \int_1^2 \nabla V \cdot d\vec{l} = \int_1^2 \mathbf{v} \times \mathbf{B} \cdot d\vec{l}$$

Fr\u00e5ga: Om man har en r\u00f6rande cirkel, var ska man koppla in lampor f\u00f6r att den ska lysa.



V\u00e4 vill ha en potentialskillnad. Detta uppn\u00e5s om linjer vinkelr\u00e4ta mot f\u00f6rdr\u00e4ktningen kopplas. St\u00f6rst potential skillnad.

Fall 3: $\mathbf{E} = \mathcal{E}(\mathbf{E} + \mathbf{v} \times \mathbf{B})$

En observat\u00f6r f\u00e4rdas med ledaren (relativitetsteori)

$$\mathbf{E}' = \mathcal{E}(\mathbf{E}' + \mathbf{v} \times \mathbf{B}') = \mathcal{E} \mathbf{E}'$$

Krafter \u00e4r lika $\Rightarrow \mathbf{E}' = \mathbf{E} + \mathbf{v} \times \mathbf{B}$
 eller $\mathbf{E} = \mathbf{E}' - \mathbf{v} \times \mathbf{B}$

S\u00e5g att vi har slinga med kontur C , yta S , som r\u00f6r sig med hastighet \mathbf{v}

Labb system $\oint_C \mathbf{E} \cdot d\vec{l} = - \int_S \frac{d\mathbf{B}}{dt} \cdot d\vec{s} = \mathcal{E}_{ind}$

R\u00f6rligt system $\oint_C \mathbf{E}' \cdot d\vec{l} = - \int_S \frac{d\mathbf{B}}{dt} \cdot d\vec{s} + \oint_C \mathbf{v} \times \mathbf{B} \cdot d\vec{l} = \mathcal{E}_{ind}$
induktion relativitet

$$\begin{cases} \nabla \times \mathbf{E} = - \frac{d\mathbf{B}}{dt} & \nabla \cdot \mathbf{D} = \rho \\ \nabla \times \mathbf{H} = \mathbf{J} (*) & \nabla \cdot \mathbf{B} = 0 \end{cases}$$

$$\nabla \cdot \mathbf{J} + \frac{d\rho}{dt} = 0, \text{ kontinuitetskvationen}$$

\u00c4r dessa konsistenta?

~~$$0 = \nabla \cdot (\nabla \times \mathbf{H}) = \nabla \cdot \mathbf{J} = - \frac{d\rho}{dt} \neq 0 \forall \rho$$~~

Maxwell l\u00f6ste detta problem

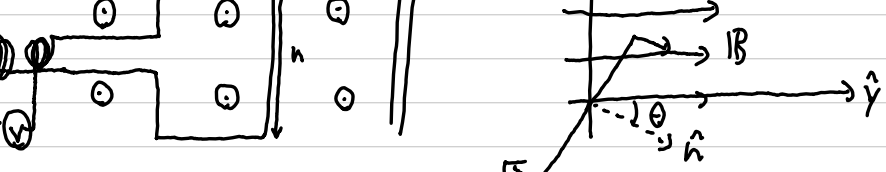
$$\nabla \cdot (\nabla \times \mathbf{H}) = \nabla \cdot \mathbf{J} + \frac{d\rho}{dt} = 0$$

Anv\u00e4nd $\nabla \cdot \mathbf{D} = \rho$

$$\nabla \cdot (\nabla \times \mathbf{H}) = \nabla \cdot \mathbf{J} + \frac{d(\nabla \cdot \mathbf{D})}{dt} = \nabla \cdot \left(\mathbf{J} + \frac{d\mathbf{D}}{dt} \right)$$

$$\Rightarrow \mathbf{D} \times \mathbf{H} = \mathbf{J} + \frac{d\mathbf{D}}{dt}, \text{ ist\u00e4llet f\u00f6r } \nabla \times \mathbf{H} = \mathbf{J} (*)$$

Exempel 7.4:



a) B\u00f6rja med stillast\u00e4ende slinga

$$\mathbf{B} = \hat{y} B_0 \sin(\omega t)$$

$$\Phi = \int_S \mathbf{B} \cdot d\vec{s} = \hat{y} B_0 \sin(\omega t) \cdot \hat{n} h L$$

$$= B_0 h L \sin(\omega t) \cos \alpha$$

$$\mathcal{E}_{ind} = - \frac{d\Phi}{dt} = - \frac{d}{dt} (B_0 h L \sin(\omega t) \cos \alpha)$$

$$= - B_0 h L \omega \cos(\omega t) \cos(\alpha)$$

b) Rot\u00e4rande slinga med ω

Antag $\alpha = 0$ vid $t = 0 \Rightarrow \alpha = \omega t$

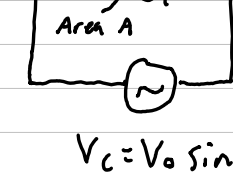
$$\text{Vi hade } \Phi = B_0 h L \sin(\omega t) \cos(\alpha)$$

$$= B_0 h L \sin(\omega t) \cos(\omega t)$$

$$= B_0 h L \frac{\sin(2\omega t)}{2}$$

$$\mathcal{E}_{ind} = - \frac{d\Phi}{dt} = - B_0 h L \omega \cos(2\omega t)$$

Exempel 7.5:



$$V_c = V_0 \sin(\omega t)$$

Str\u00f6m $i_c = C \frac{dV_c}{dt} = \omega C V_0 \cos(\omega t)$

F\u00e4lt mellan plattorna

$$\mathbf{D} = \epsilon \mathbf{E} = \epsilon \frac{V_0 \sin(\omega t)}{d}$$

$$i_D = \int_A \frac{d\mathbf{D}}{dt} \cdot d\vec{s} = \epsilon \frac{A}{d} V_0 \omega \cos(\omega t) = \omega C \cos(\omega t)$$

21/2 Vektorfält och elektro- magnetisk fältteori

(12)

Innehåll:

- Retarderade potentialer
 - + Härledning vågekvationen
 - + Typisk lösning
 - + Godtycklig laddningsfördelning
 - + Vågekvationen i termer av \mathbf{E} och \mathbf{H}
- Komplexa fält
 - + Postulaten på komplex form
- Plans vågar

Retarderade potentialer

Kapitel 7-4 och 7-6

$$\mathbf{E} = -\nabla V - \frac{d\mathbf{A}}{dt}$$

↑ laddning ↙ induktion

I statiken

$$\begin{cases} V = \frac{1}{4\pi\epsilon} \int_{V'} \frac{\rho}{R} dV' \\ A = \frac{\mu_0}{4\pi} \int_{V'} \frac{\mathbf{J}}{R} dV' \end{cases}$$

$$\nabla \times \mathbf{H} = \mathbf{J} + \frac{d\mathbf{D}}{dt}$$

$$\nabla \times \mathbf{B} = \mu \mathbf{J} + \mu \frac{d\mathbf{D}}{dt}$$

$$\Rightarrow \nabla \times (\nabla \times \mathbf{A}) = \mu \mathbf{J} + \mu \epsilon \frac{d}{dt} \left(-\nabla V - \frac{d\mathbf{A}}{dt} \right)$$

$$[\nabla \times (\nabla \times \mathbf{A}) = \nabla(\nabla \cdot \mathbf{A}) - \nabla^2 \mathbf{A}]$$

$$\nabla^2 \mathbf{A} - \mu \epsilon \frac{d^2 \mathbf{A}}{dt^2} = -\mu \mathbf{J} + \nabla \left(\nabla \cdot \mathbf{A} + \mu \epsilon \frac{dV}{dt} \right)$$

[vi kan låta $\nabla \cdot \mathbf{A}$ vara godtyckligt. Vi väljer $\nabla \cdot \mathbf{A} = -\mu \epsilon \frac{dV}{dt}$ så att parentes blir 0.]

$$\nabla^2 \mathbf{A} - \mu \epsilon \frac{d^2 \mathbf{A}}{dt^2} = -\mu \mathbf{J} \quad (\text{vågekvationen})$$

Detta överensstämmer med Poissons ekvation i statiken, där tidsderivator är 0.

Skalar potential V ?

$$\nabla \cdot \mathbf{D} = \rho$$

$$\nabla \cdot \epsilon \left(-\nabla V - \frac{d\mathbf{A}}{dt} \right) = \rho$$

$$\nabla^2 V + \frac{d}{dt} (\nabla \cdot \mathbf{A}) = -\frac{\rho}{\epsilon}$$

$$\nabla^2 V - \mu \epsilon \frac{d^2 V}{dt^2} = -\frac{\rho}{\epsilon} \quad (\text{vågekvation})$$

Typisk lösning



Lägg en laddning $\rho(t) dV'$ i origo

V får då sfärisk symmetri

$$\frac{1}{R^2} \frac{\partial}{\partial R} \left(R^2 \frac{\partial V}{\partial R} \right) - \mu \epsilon \frac{d^2 V}{dt^2} = 0 \quad \text{utanför origo}$$

Variabelbyte $V(R,t) = \frac{1}{R} u(R,t)$

$$\Rightarrow \frac{\partial^2 u}{\partial R^2} - \mu \epsilon \frac{\partial^2 u}{\partial t^2} = 0$$

Kan visa att funktioner med följande tidsberoende är lösningen

$$u_1 = f(t - R\sqrt{\mu\epsilon})$$

$$u_2 = f(t + R\sqrt{\mu\epsilon})$$

$$V_1 = \frac{u_1}{R} = \frac{1}{R} f(t - R\sqrt{\mu\epsilon})$$

I elektrostatiken hade vi

$$\Delta V = \frac{\rho dV'}{4\pi\epsilon R}$$

Jämför uttrycken och identifiera

$$\Delta V_1 = \frac{1}{R} \Delta f(t - R\sqrt{\mu\epsilon}) = \frac{\rho(t - R\sqrt{\mu\epsilon}) dV'}{4\pi\epsilon R}$$

Godtycklig laddningsfördelning:

$$V_1(R,t) = \int_{V'} \frac{\rho(t - R\sqrt{\mu\epsilon})}{4\pi\epsilon R} dV'$$

Samma form som i elektrostatiken. Den enda skillnaden är den inre funktionen för ρ .

Vågekvationen i termer av \mathbf{E} och \mathbf{H} :

$$\nabla^2 \mathbf{E} - \mu \epsilon \frac{\partial^2 \mathbf{E}}{\partial t^2} = \mu \frac{\partial \mathbf{J}}{\partial t} + \frac{1}{\epsilon} \nabla \rho$$

$$\nabla^2 \mathbf{H} - \mu \epsilon \frac{\partial^2 \mathbf{H}}{\partial t^2} = -\nabla \times \mathbf{J}$$

Ofta kan högerleden sättas = 0 vid propagation av fält.

Komplexa fält Kapitel 7-7:

Tidsberoende fält, sinus format

$$\mathbf{E}(x,y,z,t) = \hat{x} E_{ox}(x,y,z) \cos(\omega t + \theta_x(x,y,z)) +$$

$$+ \hat{y} E_{oy}(x,y,z) \cos(\omega t + \theta_y(x,y,z)) +$$

$$+ \hat{z} E_{oz}(x,y,z) \cos(\omega t + \theta_z(x,y,z))$$

komplext, $\mathbf{E} \in \mathbb{C}$

$$\bar{\mathbf{E}}(x,y,z) = \hat{x} E_{ox}(x,y,z) e^{j\theta_x(x,y,z)} +$$

$$+ \hat{y} E_{oy}(x,y,z) e^{j\theta_y(x,y,z)} +$$

$$+ \hat{z} E_{oz}(x,y,z) e^{j\theta_z(x,y,z)}$$

$$= \hat{x} \bar{E}_{ox} + \hat{y} \bar{E}_{oy} + \hat{z} \bar{E}_{oz}$$

Relationen mellan reellt och komplext fält

$$\mathbf{E}(x,y,z,t) = \text{Re} \left\{ \bar{\mathbf{E}}(x,y,z) e^{j\omega t} \right\}$$

Postulaten på komplex form:

$$\nabla \times \mathbf{E} = -\frac{\partial}{\partial t} \mathbf{B} \quad (\text{Faradays lag})$$

$$\Rightarrow \nabla \times \left(\text{Re} \left\{ \bar{\mathbf{E}} e^{j\omega t} \right\} \right) = -\frac{\partial}{\partial t} \left(\text{Re} \left\{ \bar{\mathbf{B}} e^{j\omega t} \right\} \right)$$

$$\Leftrightarrow \text{Re} \left\{ \nabla \times (\bar{\mathbf{E}} e^{j\omega t}) \right\} = \text{Re} \left\{ -\frac{\partial}{\partial t} (\bar{\mathbf{B}} e^{j\omega t}) \right\}$$

$$\Leftrightarrow \text{Re} \left\{ e^{j\omega t} \nabla \times \bar{\mathbf{E}} \right\} = \text{Re} \left\{ \bar{\mathbf{B}} (-j\omega e^{j\omega t}) \right\}$$

Måste gälla $\forall t$.

$$\Rightarrow \nabla \times \bar{\mathbf{E}} = -j\omega \bar{\mathbf{B}} \quad \text{minnesregel } \frac{\partial}{\partial t} \rightarrow j\omega$$

Övriga postulaten

$$\nabla \times \bar{\mathbf{H}} = \bar{\mathbf{J}} + j\omega \bar{\mathbf{D}}$$

$$\nabla \cdot \bar{\mathbf{B}} = 0$$

$$\nabla \cdot \bar{\mathbf{D}} = \bar{\rho}$$

Vågekvationen

$$\nabla^2 \bar{\mathbf{V}} + k^2 \bar{\mathbf{V}} = -\bar{\rho}/\epsilon$$

$$\nabla^2 \bar{\mathbf{A}} + k^2 \bar{\mathbf{A}} = -\mu \bar{\mathbf{J}}$$

Plana vågor Kapitel 8-1:

$$\nabla^2 \bar{\mathbf{E}} + k_0^2 \bar{\mathbf{E}} = 0 \quad k_0 = \omega \sqrt{\mu_0 \epsilon_0}$$

Antag E_x

$$\left(\frac{\partial^2}{\partial x^2} + \frac{\partial^2}{\partial y^2} + \frac{\partial^2}{\partial z^2} + k_0^2 \right) E_x = 0$$

Antag konstant amplitud och frys vinkelkräft mot propagationsriktning.

Antag propagation i z-led.

$$\Rightarrow \frac{\partial^2}{\partial x^2} \bar{E}_x = 0$$

$$\frac{\partial^2}{\partial y^2} \bar{E}_x = 0$$

$$\frac{\partial^2}{\partial z^2} \bar{E}_x + k_0^2 \bar{E}_x = 0$$

Lösningar!

$$E_x(z) = E_0^+ e^{-jk_0 z} + E_0^- e^{jk_0 z}$$

24/2

Vektorfält och elektro- magnetisk fältteori

(13)

Innehåll:

- Plana vågor
- + Plana vågor med förluster
- + Polarisering
- + Fashastighet
- + Goda ledare
- + Material med små förluster
- + Vågimpedans
- + Skinne-effekt

Plan vågor

$$\nabla^2 \vec{E} + k_0 \vec{E} = 0$$

| x-led: \swarrow framåt, \searrow bakåt gående våg

$$\begin{aligned} \vec{E}_x(z) &= \vec{E}_x^+(z) + \vec{E}_x^-(z) \\ &= \vec{E}_0^+ e^{-jk_0 z} + \vec{E}_0^- e^{jk_0 z} \end{aligned}$$

Plan våg i godtycklig riktning

$$\vec{E}(x,y,z) = \vec{E}_0 e^{-jk_x x - jk_y y - jk_z z}$$

För att vågekvationen ska uppfyllas

$$k_x^2 + k_y^2 + k_z^2 = \omega^2 \mu \epsilon$$

$\vec{k} = \hat{x} k_x + \hat{y} k_y + \hat{z} k_z$ (pekar i propogationsriktning)

$$\text{Generell form: } \vec{E}(\vec{R}) = \vec{E}_0 e^{-j \vec{k} \cdot \vec{R}}$$

där $\vec{R} = \hat{x} x + \hat{y} y + \hat{z} z$

| material med förluster

$$\nabla^2 \vec{E} + k_c^2 \vec{E} = 0$$

$$k_c = \omega \sqrt{\mu \epsilon_c}$$

$$\epsilon_c = \epsilon' - j\epsilon''$$

$$\epsilon' = \epsilon_0 \epsilon_r$$

$$\epsilon'' = \sigma / \omega$$

$$\gamma := j k_c = j \omega \sqrt{\mu \epsilon_c} = \alpha + j\beta$$

Plan vågor med förluster, kapitel 8-3:

$$\frac{\partial^2 \vec{E}_x(z)}{\partial z^2} - \gamma^2 \vec{E}_x(z) = 0$$

Framåt gående våg:

$$\vec{E}_x(z) = \vec{E}_x^+(0) e^{-\gamma z}$$

Reell lösning

$$\begin{aligned} E(z,t) &= \text{Re} \{ \vec{E}_x(z) e^{j\omega t} \} \\ &= \text{Re} \{ E_0^+ e^{j\omega t} e^{-(\alpha + j\beta)z} e^{j\omega t} \} \\ &= E_0^+ e^{-\alpha z} \cos(\omega t - \beta z + \theta) \end{aligned}$$

Polarisation, kapitel 8-2 och 8-3:

$$\text{Mer allmänt: } \vec{E} = \hat{x} E_{y_0} \cos(\omega t - \beta z) + \hat{y} E_{y_0} \cos(\omega t - \beta z + \varphi)$$

Vi har olika fall:

- Linjär polariserat: $\varphi = k\pi$, $k \in \mathbb{Z}$
- Cirkulär polariserat: $E_{x_0} = E_{y_0}$ och $\varphi = (k + 1/2)\pi$
- Elliptisk polarisation: Alla andra fall

För en intuitiv förståelse för linjär polarisation är de två vågorna med samma fas, växlar mellan vektorer $\nearrow \searrow \nearrow \searrow \dots$

Cirkulär polarisation ger att summan av de två komponenterna bildar en perfekt cirkel.

Ökat σ ger en dämpad svängning

Fas hastighet Kapitel 8-2:

$$E = E_0 e^{-\alpha z} \cos(\omega t - \beta z + \theta)$$

Vi åker med till exempel en "dal"

$$\Rightarrow \omega t - \beta z = \text{konstant}$$

Derivera med avseende på t :

$$\omega - \beta \frac{\partial z}{\partial t} = 0 \Rightarrow \frac{\partial z}{\partial t} = \frac{\omega}{\beta} = v_p \text{ fashastighet}$$

$$\gamma = j k_c = j \omega \sqrt{\mu \epsilon_c} = \alpha + j\beta$$

$$\epsilon_c = \epsilon' - j\epsilon'' = \epsilon - j\sigma/\omega$$

$$\gamma = j \omega \sqrt{\mu \epsilon'} \left(1 + \frac{\sigma}{j \omega \epsilon'} \right)^{1/2}$$

$$\alpha = \omega \sqrt{\frac{\mu \epsilon'}{2}} \left(\sqrt{1 + \left(\frac{\sigma}{\omega \epsilon'} \right)^2} - 1 \right)^{1/2} \quad \alpha > 0$$

$$\beta = \omega \sqrt{\frac{\mu \epsilon'}{2}} \left(\sqrt{1 + \left(\frac{\sigma}{\omega \epsilon'} \right)^2} + 1 \right)^{1/2} \quad \beta > 0$$

Gods ledare:

$$\frac{\sigma}{\omega \epsilon} \gg 1$$

$$\Rightarrow \alpha \approx \beta \approx \sqrt{\frac{\omega \mu \sigma}{2}}$$

Material med små förluster:

$$\frac{\sigma}{\omega \epsilon} \ll 1 \Rightarrow \alpha \approx \frac{\sigma}{2} \sqrt{\frac{\mu}{\epsilon}}, \quad \beta = \omega \sqrt{\mu \epsilon}$$

Vågimpedans (intrinsic impedance), Kapitel 8-2.2:

η i haken, oftast \approx annars

η_{Luft}

$$\text{Ansätt plan våg: } \vec{E} = \hat{x} E_x(z) = \hat{x} \vec{E}_x^+(z) + \hat{x} \vec{E}_x^-(z)$$

Sätt in postulatet $\nabla \times \vec{E} = -j\omega \vec{B}$

$$\begin{aligned} \vec{H} &= \frac{-1}{j\omega \mu} \left[\hat{y} \frac{\partial E_x}{\partial z} \right] = -\hat{y} \frac{-1}{j\omega \mu} \left[-\gamma \vec{E}_x^+(z) + \gamma \vec{E}_x^-(z) \right] \\ &= \hat{y} \frac{\gamma}{j\omega \mu} \left[\vec{E}_x^+(z) - \vec{E}_x^-(z) \right] = \hat{y} \left[\vec{H}_y^+(z) + \vec{H}_y^-(z) \right] \end{aligned}$$

$$\vec{H}_y^+ = \frac{\gamma}{j\omega \mu} \vec{E}_x^+(z)$$

$\gamma = 1/2$ eller $1/\eta$

$$\vec{H}_y^- = -\frac{\gamma}{j\omega \mu} \vec{E}_x^-(z)$$

$$z := \frac{j\omega \mu}{\gamma} \quad \text{eller} \quad \eta = \frac{j\omega \mu}{\gamma}$$

Godtycklig plan våg:

$$\vec{E}(\vec{R}) = \vec{E}(0) e^{-\gamma \hat{k} \cdot \vec{R}}, \quad \hat{k} \cdot \vec{E} = 0$$

$$\vec{H} = \frac{1}{z} \hat{k} \cdot \vec{E} \Leftrightarrow \vec{E} = z \vec{H} \times \hat{k}$$

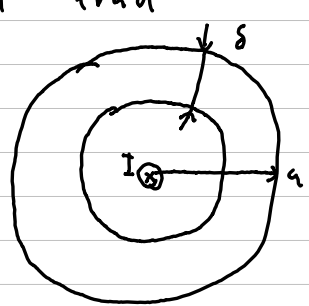
Skineffekt, Kapitel 8-3

$e^{-\alpha z}$ visar hur fältet dämpas.

På djupet $\delta = 1/\alpha$ har fältet dämpats

$$e^{-\alpha \delta} = e^{-1} \approx 37\%, \quad \delta := \text{inträgningsdjup}$$

| tråd



För mer information, se "El fält i sammandrag, avsnitt 10.2.9"

Maxwell i cylindriska koordinater

28/2 Vektorfält och elektro-
magnetisk fältteori

(14)

Innehåll:

- Vågrörelser
 - + Grupp hastighet
 - + Poynting vektorn
 - + Tidsmedelvärde av Poynting vektorer
 - + Reflektans och transmittans
 - + Snett infall
 - + Total reflektion

Vågrörelser

Grupp hastighet, Kapitel 8-4:

Antag två vågor $\omega_0 + \Delta\omega$ och $\omega_0 - \Delta\omega$
 $\beta_0 + \Delta\beta$ och $\beta_0 - \Delta\beta$

Lägg ihop två vågor

$$E(z,t) = E_0 \cos((\omega_0 + \Delta\omega)t - (\beta_0 + \Delta\beta)z) + E_0 \cos((\omega_0 - \Delta\omega)t - (\beta_0 - \Delta\beta)z)$$

$$= 2 E_0 \cos(\underbrace{\Delta\omega t - \Delta\beta z}_{\text{konstant}}) \cos(\omega_0 t - \beta_0 z)$$

$$u_g = \frac{dz}{dt} = \frac{\Delta\omega}{\Delta\beta} \cdot \lim_{\Delta\omega \rightarrow 0} \lim_{\Delta\beta \rightarrow 0} \left(\Rightarrow \frac{1}{\left(\frac{\partial\beta}{\partial\omega} \right)} \right)$$

Poyntingsvektorn, Kapitel 8-5:

$$S := E \times H$$

Härledning

$$\nabla \cdot (E \times H) = H(\nabla \times E) - E(\nabla \times H)$$

$$= H \left(-\frac{\partial B}{\partial t} \right) - E \left(\nabla \cdot \frac{\partial D}{\partial t} \right)$$

$$= -\frac{1}{2} \frac{\partial}{\partial t} (H \cdot B) - \frac{1}{2} \frac{\partial}{\partial t} (E \cdot D) - \frac{\nabla \cdot J}{\sigma}$$

Integrera över V' :

$$\int_{V'} \nabla \cdot (E \times H) dV' = -\frac{1}{2} \frac{\partial}{\partial t} \int_{V'} H \cdot B dV' - \frac{1}{2} \frac{\partial}{\partial t} \int_{V'} E \cdot D dV' - \int_{V'} \frac{\nabla \cdot J}{\sigma} dV'$$

$$\int_S E \times H d\vec{s} = \left[\Delta \text{Elektrisk energi} \right] + \left[\Delta \text{Magnetostatisk energi} \right]$$

Effekt ut/in

Tidsmedelvärde av Poyntingsvektorn, Kapitel 8-51

Ansätt $E = E_r + j E_i$; $H = H_r \cos(\omega t) - H_i \sin(\omega t)$
 $H = H_r + j H_i$; $H = H_r \cos(\omega t) - H_i \sin(\omega t)$

Beräkna Poyntingsvektorn

$$\vec{S} = E \times H = (E_r \cos(\omega t) + E_i \sin(\omega t)) \times (H_r \cos(\omega t) - H_i \sin(\omega t))$$

$$= E_r \times H_r \cos^2 \omega t + E_i \times H_i \sin^2 \omega t - (E_i \times H_r + E_r \times H_i) \sin(\omega t) \cos(\omega t)$$

= 0

Tidsmedelvärde: $\vec{S} = \frac{1}{T} \int_0^T \vec{S} dt = \frac{1}{2} (E_r \times E_r + E_i \times H_i)$

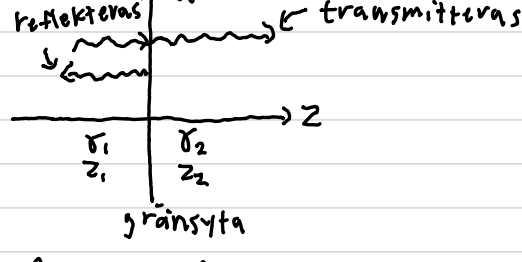
Komplex form: $\frac{1}{2} \text{Re} (E \times H^*) =$

$$= \frac{1}{2} \text{Re} (E_r + j E_i) \times (H_r - j H_i)$$

$$= \frac{1}{2} \text{Re} (E_r \times H_r + E_i \times H_i) + j(\dots) \leftarrow \text{ej reellt}$$

$$= \frac{1}{2} (E_r \times H_r + E_i \times H_i)$$

Reflektans och transmittans, Kapitel 8.6 och 8.8:



Antag vågor

$$\vec{E}_1^+ = \hat{x} E_{10}^+ e^{-\gamma_1 z} \quad \vec{H}_1^+ = \hat{y} E_{10}^+ e^{-\gamma_1 z}$$

$$\vec{E}_1^- = \hat{x} E_{10}^- e^{\gamma_1 z} \quad \vec{H}_1^- = -\hat{y} E_{10}^- e^{\gamma_1 z}$$

$$\vec{E}_2^+ = \hat{x} E_{20}^+ e^{-\gamma_2 z} \quad \vec{H}_2^+ = \hat{y} E_{20}^+ e^{-\gamma_2 z}$$

Randvillkor vid $z=0$:

$$E_{1,\text{trans}} = E_{2,\text{trans}}$$

$$H_{1,\text{trans}} = H_{2,\text{trans}}$$

$$\Rightarrow \vec{E}_{10}^+ + \vec{E}_{10}^- = \vec{E}_{20}^+ \quad , \quad \frac{\vec{E}_{10}^+}{z_1} - \frac{\vec{E}_{10}^-}{z_1} = \frac{\vec{E}_{20}^+}{z_2}$$

$$\Rightarrow \vec{E}_{10}^- = \frac{z_2 - z_1}{z_2 + z_1} \vec{E}_{10}^+ \quad , \quad \vec{E}_{20}^+ = \frac{2z_2}{z_2 + z_1} \vec{E}_{10}^+$$

Vinkelrätt mot infall

Kan då visa att $1 + \Gamma = \tau$

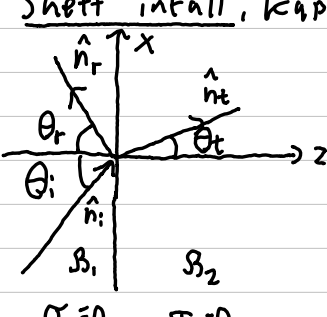
För glänt gäller reflektion

$$R = \frac{|\vec{S}_r|}{|\vec{S}_i|} = \frac{|E_r|^2}{|E_i|^2} = |\Gamma|^2$$

$$T = \frac{|\vec{S}_t|}{|\vec{S}_i|} = \frac{|\vec{S}_t|}{|\vec{S}_i|} = 1 - \frac{|\vec{S}_r|}{|\vec{S}_i|} = 1 - R$$

Kan även visa att $R + T = 1$.

Snett infall, Kapitel 8-10:



Ansätt $\vec{E}_i = \vec{E}_{i0} e^{-j\beta_1 \hat{n}_i \cdot R}$

$$\vec{E}_r = \vec{E}_{r0} e^{-j\beta_1 \hat{n}_r \cdot R}$$

$$\vec{E}_t = \vec{E}_{t0} e^{-j\beta_2 \hat{n}_t \cdot R}$$

$$\hat{n}_i = (\sin \theta_i, 0, \cos \theta_i)$$

$$\hat{n}_r = (\sin \theta_r, 0, \cos \theta_r)$$

$$\hat{n}_t = (\sin \theta_t, 0, \cos \theta_t)$$

$$\hat{n}_i \cdot R = x \sin \theta_i + z \cos \theta_i$$

$$\hat{n}_r \cdot R = x \sin \theta_r + z \cos \theta_r$$

$$\hat{n}_t \cdot R = x \sin \theta_t + z \cos \theta_t$$

Randvillkor vid $z=0$:

$$\left[(\vec{E}_{i0})_t + (\vec{E}_{r0})_t = (\vec{E}_{t0})_t \quad (\dots)_t = \text{tangential komponent} \right]$$

$$\left[(\vec{H}_{i0})_t + (\vec{H}_{r0})_t = (\vec{H}_{t0})_t \right]$$

$$\Rightarrow (\vec{E}_{i0})_t e^{-j\beta_1 x \sin \theta_i} + (\vec{E}_{r0})_t e^{-j\beta_1 x \sin \theta_r} = (\vec{E}_{t0})_t e^{-j\beta_2 x \sin \theta_t}$$

Ekvationerna ska gälla för alla x

$$\beta_2 = \frac{\omega}{c_2}$$

$$\Rightarrow \frac{\omega}{c_1} x \sin \theta_i = \frac{\omega}{c_1} x \sin \theta_r = \frac{\omega}{c_2} x \sin \theta_t$$

$$\Rightarrow \frac{\sin \theta_i}{c_1} = \frac{\sin \theta_t}{c_2} \quad (\text{Snells lag})$$

Totalreflektion, Kapitel 8.10 och 8.11:

Då $\epsilon_1 > \epsilon_2$ (Antag $\mu_1 = \mu_2$ och förlustfritt)

$$c = \frac{1}{\sqrt{\mu \epsilon}}$$

Snells lag blir då $\sin \theta_i \sqrt{\mu \epsilon_1} = \sin \theta_t \sqrt{\mu \epsilon_2}$

$$\sin \theta_t = \sqrt{\frac{\epsilon_1}{\epsilon_2}} \sin \theta_i$$

Vad händer om $\theta_t = \pi/2$

$$\theta_i = \arcsin \left(\sqrt{\frac{\epsilon_2}{\epsilon_1}} \right) =: \theta_{\text{crit}} \quad \leftarrow \text{kritisk vinkel}$$

För $\theta_i > \theta_{\text{crit}}$

$$\sin \theta_t = \sqrt{\frac{\epsilon_1}{\epsilon_2}} \sin \theta_i > 1$$

Inga reella lösningar



1/3 Vektorfält och elektro-
magnetisk fältteori

(15)

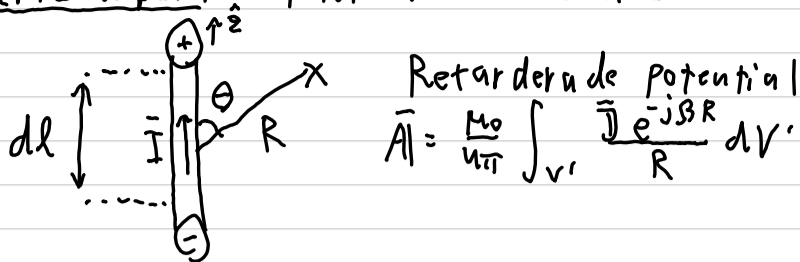
Innehåll:

- Antenner

- + Hertz-dipol
- + Strålningsdiagram
- + Utstrålad effekt
- + Antennförstärkning
- + Strålningsresistans
- + Dipolantenn
- + Array

Antenner

Hertz-dipol, Kapitel 11-1 och 11-2:



Sinus varierande ström

Låt $dl \ll \lambda$, våslängd, $dl \ll R$.

[Retarderad potential \approx Fördröjd potential]

Antag även att \vec{I} konstant längsmed antennen.

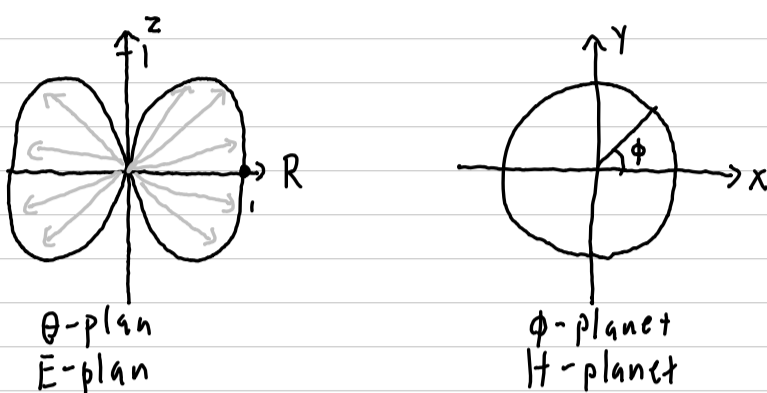
$$d\vec{A} = \frac{\mu_0}{4\pi} \hat{z} \frac{\vec{I} dl}{R} e^{-j\beta R}$$

$$\vec{B} = \nabla \times \vec{A}$$

$$\Rightarrow \dots d\vec{E}_\theta = j \frac{\vec{I} dl}{4\pi} \frac{e^{-j\beta R}}{R} \beta \sin\theta$$

$$d\vec{H}_\phi = j \frac{\vec{I} dl}{4\pi} \frac{e^{-j\beta R}}{R} \beta \sin\theta$$

Strålningsdiagram, Kapitel 11-3:



Utstrålad effekt, Kapitel 11-3:

$\vec{S} = |\vec{E} \times \vec{H}|$, där vi får E och H från Hertzdipol

Tidsinvariant: $\vec{S}_{av} = 1/2 \cdot \text{Re} \{ \vec{E} \times \vec{H}^* \}$

Total utstrålad effekt

$$P_r = \oint_{S'} \vec{S}_{av} \cdot d\vec{S}' = \oint_{S'} \frac{1}{2} \text{Re} \{ |\vec{E} \times \vec{H}^*| \} \cdot dS'$$

För Hertz-dipolen

$$|\vec{E} \times \vec{H}^*| = \dots \hat{R} \beta^2 \frac{\vec{I}^2 dl^2}{6\pi^2 R^2} \frac{1}{R^2} \sin^2\theta$$

$$P_r = \oint_{S'} \vec{S}_{av} \cdot d\vec{S}' = \dots = \frac{\vec{I}^2}{2} \cdot 80\pi^2 \left[\frac{dl}{\lambda} \right]^2$$

Antennförstärkning, Kapitel 11-2:

$$G_D(\theta, \phi) = \frac{|\vec{S}(\theta, \phi)|}{P_r / 4\pi R^2}, \quad S(\theta, \phi) = \frac{1}{2} \text{Re} \{ \vec{E} \times \vec{H}^* \}$$

där R beroendet tar ut varandra.

För Hertz-dipolen:

$$G_D(\theta, \phi) = \frac{3}{2} \sin^2\theta$$

Direktivitet $D = \max(G_D)$

Hertz-dipol $D = 1.5$

Strålningsresistans, Kapitel 11-3:

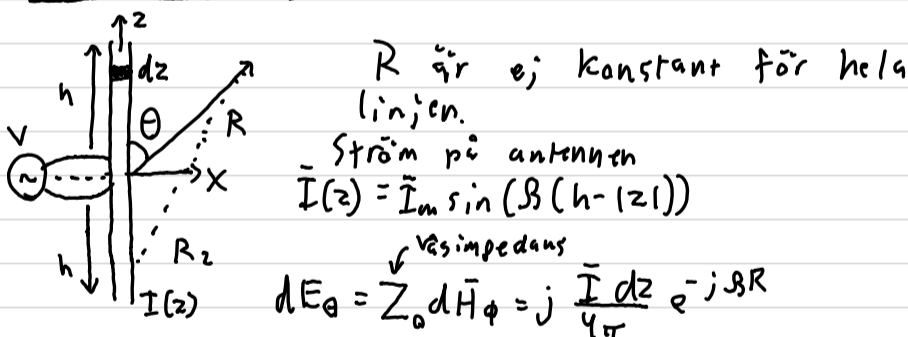
$$P_r = R_r \vec{I}^2_{effektiv} = \frac{1}{2} R_r \vec{I}_0^2 \text{ amplitud}$$

För Hertz-dipolen:

$$R_r = 80\pi^2 \left(\frac{dl}{\lambda} \right)^2$$

Om till exempel $dl = 0,01 \Rightarrow R_r = 0,08 \Omega$

Dipol antennen, Kapitel 11-4:



Det horisontella avståndet för R kan approximeras som $R = z \cos\theta$, här det är längst ifrån antennen.

$$\Rightarrow d\vec{E}_\theta = z_0 d\vec{H}_\phi = j \frac{\vec{I} dz}{4\pi} \frac{e^{-j\beta(R-z\cos\theta)}}{R-z\cos\theta} z_0 \beta \sin\theta$$

$$\approx j \frac{\vec{I} dz}{4\pi} \frac{e^{-j\beta(R-z\cos\theta)}}{R} z_0 \beta \sin\theta$$

$$\Rightarrow \vec{E}_\theta = \int d\vec{E}_\theta = \left[\text{Halvvägs antenn} \right] = \dots$$

$$= j \frac{60 \vec{I}_m}{R} e^{-j\beta R} \left(\frac{\cos(\pi \cdot \cos\theta/2)}{\sin\theta} \right)$$

$:= F(\theta)$, element faktorn

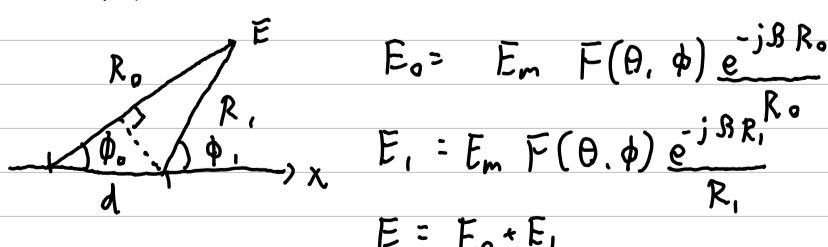
För halvvägsdipolen

$$P_r = 36,5 (\vec{I}_m)^2$$

$$\text{Strålningsresistans } R \approx 73,1 \Omega$$

$$\text{Direktivitet } D = 1,64$$

Array, Kapitel 11-5:



$$E_0 = E_m F(\theta, \phi) \frac{e^{-j\beta R_0}}{R_0}$$

$$E_1 = E_m F(\theta, \phi) \frac{e^{-j\beta R_1}}{R_1}$$

$$E = E_0 + E_1$$

$$R_1 \approx R_0 - d \cos\phi \sin\theta$$

$$E = \dots = E_m \frac{F(\theta, \phi)}{R_0} e^{-j\beta R_0} e^{-\psi/2} \underbrace{2 \cos\left(\frac{\psi}{2}\right)}_{\text{Array faktor}}$$

$$\left[\psi = \beta d \cos\theta \sin\phi + \xi \right]$$

9/3 Vektorfält och elektro- magnetisk fältteori

(16)

Innehåll:

- Repetition

+ Magnetostatik

- Magnetisk kraft

- Postulat

- Amperes lag

+ Linjeström

- Biot-Savarts lag

- Vektorpotential

- Magnetisk dipol

- Randvillkor

- Energi

- Amperes kraftlag

+ Dynamik

- Maxwells ekvationer/postulat

- Kontinuitets ekvationen

- Lorentz kraft

- Självinduktans

- Ömsesidig induktans

- Induktioner av Faradays lag

- Lenz lag

- Retarderade potentialer

+ Komplexa fält

- Komplexa våg ekvationen

- Plan våg

- Poyntingvektorn

- Reflektion och transmission i gränssytor

+ Antennor

- Hertzdipolen

- Dipolantenn

Repetition

Magnetostatiken:

Kraften $\mathbf{F} = q \mathbf{u} \times \mathbf{B} = \mathbf{F} \times \mathbf{B}$

Postulat: $\nabla \cdot \mathbf{B} = 0$
 $\nabla \times \mathbf{B} = \mu_0 \mathbf{J}$

[Tips! Med postulat på tentan är det alltid två postulat, elektrostatik och två i magnetostatik]

Amperes lag: $\oint_C \mathbf{B} \cdot d\vec{\ell} = \mu_0 I$

Linjeström: $B(R) = \frac{\mu_0 I}{2\pi R}$

Biot-Savarts lag: $\mathbf{B} = \frac{\mu_0}{4\pi} \int_V \frac{\mathbf{J} \times \mathbf{R}}{R^2} dV'$

[Tips: Vad är källpunkt, vad är fältpunkt?]

Vektorpotential $\nabla \cdot \mathbf{B} = 0 \Rightarrow \nabla \times \mathbf{A} = \mathbf{B}$
(Samma riktning som J)

Integral för vektorpotential:

$$\mathbf{A} = \frac{\mu_0}{4\pi} \int_V \frac{\mathbf{J}}{R} dV'$$

Magnetisk dipol:

 $\mathbf{H} = \frac{\mathbf{B}}{\mu_0} - \mathbf{M}$, oftast $\mathbf{B} = \mu_0 \mathbf{M}$

[Tips: Var är H, B, M fälten definierade?]

Randvillkor:

$B_{1n} = B_{2n}$ ← kontinuerlig

$H_{1t} - H_{2t} = \mathbf{J}_s$ ← diskontinuerligt i bland, y-ström

[Tips! Finns det olika material i problemet, vad är våra randvillkor?]

Energi: $W_m = \frac{1}{2} \int_V \mathbf{J} \cdot \mathbf{A} dV' = \frac{1}{2} \int_V \mathbf{H} \cdot \mathbf{B} dV'$

$\mathbf{F}_T = \nabla W_m$

$\mathbf{F}_\phi = -\nabla W_m$

Amperes kraftlag:

$$\mathbf{F}_m = \int_V \mathbf{J} \times \mathbf{B} dV'$$

Dynamiken:

Maxwells ekvationer/postulat:

$$\nabla \times \mathbf{E} = -\frac{\partial \mathbf{B}}{\partial t}$$

$$\nabla \times \mathbf{H} = \mathbf{J} + \frac{\partial \mathbf{D}}{\partial t}$$

$$\nabla \cdot \mathbf{D} = \rho$$

$$\nabla \cdot \mathbf{B} = 0$$

Kontinuitetsekvationen:

$$\nabla \cdot \mathbf{J} + \frac{\partial \rho}{\partial t} = 0$$

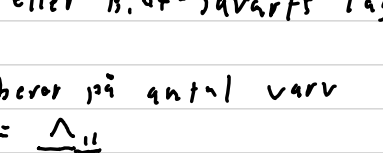
Lorentzkraft $\mathbf{F} = q(\mathbf{E} + \mathbf{u} \times \mathbf{B})$

Självinduktans: $\Phi_{11} = L_{11} i_1$

$$\mathcal{E}_{ind} = -L_1 \frac{di}{dt}$$

Ömsesidig induktans:

$$\Phi_{12} = \int_{S_2} \mathbf{B}_1 \cdot d\vec{S}_2 = L_{12} i_1$$



Beräkningsgång

1) Antag I_1

2) Beräkna \mathbf{B}_1 , Amperes lag eller Biot-Savarts lag

3) Beräkna Φ_{12} eller Φ_{11}

4) Beräkna Λ_{12} , eller Λ_{11} , beror på antal varv

5) Räkna $L_{12} = \frac{\Lambda_{12}}{I_2}$, $L_{11} = \frac{\Lambda_{11}}{I_1}$

Induktioner av Faradays lag:

$$\mathcal{E}_{ind} = -\frac{d\Phi}{dt}$$

[Tips: Beräkna inducerad spänning i en krets]

Lenz lag:

Inducerade spänningar motverkar förändringar i pålagt B-fält.

Retarderade potentialer:

$$\mathbf{A}(\mathbf{R}, t) = \frac{\mu_0}{4\pi} \int_V \frac{\mathbf{J}(\mathbf{R}', t - R_{12}/c)}{R_{12}} dV'$$

$$V(\mathbf{R}, t) = \frac{1}{4\pi\epsilon_0} \int_V \frac{\rho(\mathbf{R}', t - R_{12}/c)}{R_{12}} dV'$$

Komplexa fält:

$$\frac{\partial}{\partial t} \rightarrow j\omega, \quad \mathbf{E}(\mathbf{R}, t) = \text{Re} \{ \bar{\mathbf{E}} e^{j\omega t} \}$$

[Tips: Denna är viktig]

Komplex vågekvation

$$\nabla^2 \bar{\mathbf{E}} - \gamma \bar{\mathbf{E}} = 0,$$

$$\gamma = \alpha + j\beta = \sqrt{j\omega\mu(\sigma + j\omega\epsilon)}$$

Specialfall

$$\frac{\sigma}{\omega\epsilon} \gg 1, \quad \frac{\sigma}{\omega\epsilon} \ll 1$$

[Tips: Lös viktigen på goda, respektive dåliga ledare, dvs specialfallen ovan.]

Plan våg (Uniform plane waves):

$$\bar{\mathbf{E}}(\mathbf{R}) = \bar{\mathbf{E}}(0) e^{-\hat{\mathbf{k}} \cdot \mathbf{R}}, \quad \hat{\mathbf{k}} \text{ propagationsriktning}$$

$$\hat{\mathbf{k}} \cdot \bar{\mathbf{E}}(0) = 0 \text{ måste gälla}$$

$$\text{Vågimpedans } Z = \frac{j\omega\mu_0}{\gamma}$$

$$\bar{\mathbf{H}}(\mathbf{R}) = \frac{\hat{\mathbf{k}} \times \bar{\mathbf{E}}(\mathbf{R})}{Z}$$

Fasfäshastighet: $V_{fas} = \frac{\omega}{\beta}$

Gruppshastighet: $V_{grupp} = 1 / \frac{\partial \beta}{\partial \omega}$

Poyntingvektorn: $\vec{S} = \mathbf{E} \times \mathbf{H}$

Tidsmedelvärde $\vec{S}_{av} = \frac{1}{2} \text{Re} \{ \bar{\mathbf{E}} \times \bar{\mathbf{H}}^* \}$

Reflektion och transmission i gränssytor:

Vinkelrätt infall

$$\Gamma = \frac{Z_2 - Z_1}{Z_2 + Z_1}, \quad \tau = \frac{2Z_2}{Z_2 + Z_1}$$

Snett infall: Snells lag $\theta_1 = \theta_2$
 $(c_2 \sin \theta_1) = (c_1 \sin \theta_2)$

Total reflektion: $\theta_{kritik} = \arcsin\left(\frac{c_1}{c_2}\right)$

Frenels ekvation: $\Gamma_{\perp} = \frac{\cos \theta_i / Z_1 - \cos \theta_t / Z_2}{\cos \theta_i / Z_1 + \cos \theta_t / Z_2}$

$$\tau_{\perp} = \frac{2 \cos \theta_i / Z_2}{\cos \theta_i / Z_1 + \cos \theta_t / Z_2}$$

$$\Gamma_{\parallel} = \frac{-Z_1 \cos \theta_i + Z_2 \cos \theta_t}{Z_1 \cos \theta_i + Z_2 \cos \theta_t}$$

$$\tau_{\parallel} = \frac{2 Z_2 \cos \theta_i}{Z_1 \cos \theta_i + Z_2 \cos \theta_t}$$

Antenner:

Hertz dipolen:

$$\bar{\mathbf{E}}_{rad} = \hat{\theta} \frac{Z_0 j\omega d\bar{\mathbf{I}}}{4\pi c R} \sin \theta e^{-j\beta R}$$

$$\bar{\mathbf{H}}_{rad} = \hat{\phi} \frac{j\omega d\bar{\mathbf{I}}}{4\pi c R} \sin \theta e^{-j\beta R}$$

Dipolantenn:

$$\mathbf{E} = \int_{-h}^h d\bar{\mathbf{E}}_{rad}$$

[Tips: För arrayer görs en approximation i exponenten men inte i nämnaren]